

# tanulmányok

181/1986

MTA Számítástechnikai és Automatizálási Kutató Intézet Budapest





MAGYAR TUDOMÁNYOS AKADÉMIA  
SZÁMITÁSTECHNIKAI ÉS AUTOMATIZÁLÁSI KUTATÓ INTÉZETE

KÖR APPROXIMÁCIÓJA A SZÁMITÓGÉPES  
GEOMETRIAI TERVEZÉSBEN

Renner Gábor

Tanulmányok 181/1986

A kiadásért felelős:

*Dr. KEVICZKY LASZLÓ*

Fősztályvezető:

*Dr. NEMES LASZLÓ*

ISBN 963 311 210 9

ISSN 0237-0131

## TARTALOMJEGYZÉK

	oldal
1. BEVEZETÉS . . . . .	5
2. Körközelítés köríven elhelyezkedő pontokkal . .	8
2.1 Bèzier-módszer . . . . .	8
2.2 B-spline módszer . . . . .	13
2.3 R-P módszer . . . . .	18
3. Optimális körközelítések . . . . .	24
3.1 A típusu körközelítés . . . . .	24
3.2 B típusu körközelítés . . . . .	31
3.3 C típusu körközelítés . . . . .	34
4. Optimális körközelítések reprezentációi . . . .	40
4.1 Bèzier reprezentáció . . . . .	40
4.2 B-spline reprezentáció . . . . .	42
4.3 R-P reprezentáció . . . . .	43
5. Körközelítő módszerek összehasonlítása . . . .	46
Irodalomjegyzék . . . . .	51
Táblázatok . . . . .	53



## 1. BEVEZETÉS

A számítástechnika alkalmazásának kezdeti időszakára elsősorban a nagymennyiségű információ tárolását, feldolgozását, visszakeresését igénylő adatfeldolgozás volt jellemző. Anélkül, hogy e terület vesztett volna jelentőségéből, az utóbbi időben kifejlődött és egyre nagyobb jelentőségre tesz szert egy másik terület is; számítástechnikai eszközök és módszerek igénybevétele műszaki tervezési feladatok megoldására. Létrejött egy viszonylag önálló és körülhatárolt diszciplína: CAD = Computer Aided Design, amely a számítógépes tervezés elméleti, műszaki, számítástechnikai problémáival, számítógépes tervező rendszerek felépítésével, tervezésével és létrehozásával foglalkozik. A fejlődés eredményeképpen a magas számítástechnikai kulturájú országokban hatékony számítógépes tervező rendszerek állnak a mindennapi tervezői gyakorlat szolgálatában. Élen járnak e tekintetben azok az iparágak, ahol nagymennyiségű tervezői munka gyors elvégzését követelik meg piaci, eszközkivhasználási, stb. szempontok, mint pl. a járműkarosszéria-tervezés, NC megmunkálás tervezése esetében.

A számítógépes tervezés összetett témakörén belül elhatárolható a számítógépes geometriai tervezés kérdésköre, amely a tervezendő műszaki objektum geometriai viszonyainak reprezentálására szolgáló matematikai módszerekkel és azok számítógépes megvalósításával foglalkozik. Egyszerű és bonyolult tervezőrendszereknek egyaránt szerves része a geometriai leírás, amely többek között geometriai leíró nyelvben, geometriai adatbázisban, geometriai modellben, geometriai modulokban ölt testet. Az elsőként kidolgozott rendszereket és a bennük realizált nyelveket - APT, EXAPT, FORTAP - az egyszerűbb, de a mérnöki gyakorlatban igen sokszor előforduló felületek (sík, henger, kup, gömb) leírására dolgozták ki. E felületek természetesen egyszerű síkgörbékből: egyenes szakasz, körív hozhatók létre.

Az utóbbi években felmerült az igény olyan rendszerek megvalósítására, amelyekkel a hagyományostól eltérő, változatos

geometriájú, bonyolult felületeket lehet tervezni és megmunkálni. E "szoborszerű" vagy "szabadformájú" felületek (sculptured surfaces, free-form surfaces) és a megfelelő, bonyolult térbeli görbék leírására új matematikai módszereket dolgoztak ki, és fejlesztenek manapság is. A cél olyan eljárásokat adnia tervező kezébe amelyekkel a kívánt felületalakot-pl. járműkarosszéria, hajótest, turbinalapát, présszerszám felületei- egyszerűen tudja előállítani, módosítani, transzformálni, stb.

Ugyanakkor mivel az összes geometriai jellegű műveletet számítógép végzi, e módszereknek számítógépen jól reprezentálhatónak kell lenniük. A görbéket és a felületeket definiáló geometriai információkat egyszerűen és reális keretek között kell tárolni, ugyanakkor rugalmas lehetőséget kell biztosítani az interaktív tervezést lehetővé tevő változtatásokra. Szükség van különféle felületjellemzők (érintők, normálisok, metszetek, vetületek) gyors számítására, valamint felületek és felületelemek grafikus eszközökön való megjelenítésére.

A fejlődés eredményeként sajátos helyzet állt elő. Léteznek módszerek és rendszerek, amelyekkel az igen gyakori hagyományos és egyszerű felületek kezelhetők, és léteznek egyre hatékonyabb módszerek és rendszerek bonyolult szoborszerű felületek leírására. Ez utóbbiakkal azonban az egyszerű görbék és felületek előállítása nehézséget jelent. Különösen is jelentkezik a nehézség a körív és az abból generált felületek vonatkozásában, mivel a szabadformájú görbék és felületek leírására szolgáló általánosan elterjedt módszerekkel a kör nem állítható elő egzakt módon.

Ugyanakkor kiderült, hogy az általában szoborszerűnek minősülő alkatrész-felületek is tartalmaznak - ha sokszor jelentéktelen mértékben is - egyszerű felületeket, amelyek a szoborfelületekkel együtt egységes egészt alkotnak (pl. csatlakozófelületek, peremek, lekerekítések, stb.). Kívánatos ezért, hogy az egész alkatrész tervezése egységes koncepció szerint, egy rendszeren belül történjék, és a szabadformájú geometriai elemek leírására szolgáló módszereket alkalmassá tegyék egyszerű geo-



metriai formák előállítására vagy közelítésére.

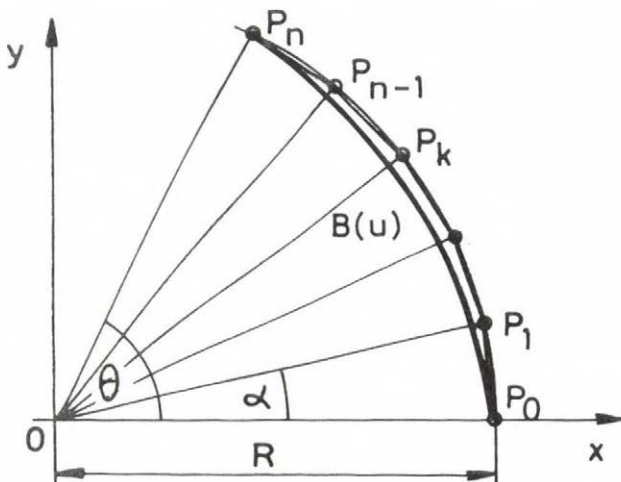
Tanulmányunkban a kör szabadformájú görbékkel való közelítésének különböző lehetőségeit vizsgáljuk meg. Először köríven elhelyezkedő kiinduló pontokat veszünk alapul és kiszámítjuk a különböző interpolációs módszerekkel adódó görbe körtől való maximális eltérését. Ezután tárgyaljuk az optimális körközelítést ami azonban csak a középponttól különböző távolságban levő pontok felhasználásával hozható létre. Végül összehasonlítjuk a különböző kör-közelítési módokat.

## 2. KÖRKÖZELITÉS KÖRIVEN ELHELYEZKEDŐ PONTOKKAL

Tervezési szempontból a teljes kör vagy körív-darab létrehozásának egyszerű módja, ha megadjuk a körív néhány pontját, és ezeket a tervező-rendszerben rendelkezésre álló és görbék előállítására szolgáló módszerek (interpoláció, approximáció) bemenő adataként tekintjük. A számítógépes görbetervezésre javasolt módszerek közül a racionális törtefüggvények használata lehetőséget ad a kör egzakt előállítására az előbbi bemenő adatok mellett. E módszer azonban nem tudott széleskörűen elterjedni a többi módszerhez viszonyított bonyolultsága miatt. A használatban levő módszerek esetében viszont a kapott görbe eltér a körtől. A következőkben megadjuk ezen eltérés maximumát a legfontosabb módszerekre. Látni fogjuk, hogy a körív jobb közelítését érhetjük el, ha a kiinduló pontokat az eredetitől eltérő sugaru köríven helyezzük el.

### 2.1. BÉZIER-MÓDSZER

Az 1. ábrán látható  $R$  sugaru körívet a  $P_0$  és  $P_n$  pontok között - melynek nyílásszöge  $\theta$  - közelítsük  $n$ -edfoku Bèzier görbével. Vegyük fel ehhez a  $P_1, P_2 \dots P_{n-1}$  pontokat egyenletes osztásban az  $r=R$  sugaru körív menetén. Két szomszédos pont szög-távolsága ( $\alpha$ ) és a  $k$ -adik pont koordinátái (1. ábra):



$$\alpha = \frac{\theta}{n}$$

$$P_k: (r \cos \alpha k; r \sin \alpha k) \\ 0 \leq k \leq n$$

1. ábra

Tekintsük az  $x$ - $y$  síkot a komplex számsíknak, és írjuk fel a  $P_0, P_1, P_2, \dots, P_n$  pontokhoz tartozó (az ezen pontokon átmenő hurpoligont approximáló) Bézier görbét [1].

$$(1) \quad B(u) = \sum_{k=0}^n \phi_k(u) P_k = \sum_{k=0}^n \phi_k(u) (r \cos k\alpha + j r \sin k\alpha) = \\ = \sum_{k=0}^n \phi_k(u) r e^{jk\alpha}$$

ahol a

$$(2) \quad \phi_k(u) = \binom{n}{k} u^k (1-u)^{n-k}$$

Bézier súlyfüggvények az  $u$  görbementi paraméternek  $n$ -edfoku függvényei és  $0 \leq u \leq 1$ . A Bézier-görbék tulajdonságaiból következik [1], hogy a közelítő görbe átmegy a hurpoligon kezdő és végpontján ( $P_0$ , ill.  $P_n$ ) és itt érintője az első, ill. utolsó hur irányába esik ( $P_0 P_1$  ill.  $P_{n-1} P_n$ ). A pontok számának ( $n+1$ ) növelésével a görbe egyre jobban megközelíti az  $n$  oldalú poligont, és így magát a körivet is.

A továbbiakban kiszámítjuk a Bézier-görbe és a kör eltéréseinek maximumát. E maximum helyét, tehát ahol az

$$(3) \quad R - |B(u)| = r - |B(u)|$$

kifejezésnek szélsőértéke van, olyan  $u$  paraméter-értéknél kapjuk, amelyre:

$$(4) \quad \frac{\partial |B(u)|}{\partial u} = 0$$

Másrészt viszont mivel  $B(u) = |B(u)| e^{j\varphi(u)}$ , mindig fennáll a következő összefüggés:

$$\frac{\partial B(u)}{\partial u} = \frac{\partial |B(u)|}{\partial u} e^{j\varphi(u)} + |B(u)| j e^{j\varphi(u)} \frac{\partial \varphi(u)}{\partial u}$$

Figyelembevève itt a (4) feltételt, a szélsőérték helyére fennáll:

$$(5) \quad \frac{\partial B(u)}{\partial u} = jB(u) \frac{\partial \varphi(u)}{\partial u}$$

A  $\frac{\partial \varphi(u)}{\partial u}$  mennyiség bármely  $u$ -ra valós szám. Az (5) egyenlet tehát azt mondja ki, hogy a szélsőérték helyén a görbeponthoz mutató komplex vektor és a paraméter szerinti derivált vektor (a görbe érintője) merőleges egymásra.

A közelítő Bézier-görbe (1) egyenletébe való helyettesítéssel belátható, hogy a  $B(u)$  és  $B(1-u)$  pontok szimmetrikus helyzetűek a  $\theta$  szög szögfelezőjére, és ennek a görbével való metszéspontja a  $B(1/2)$  pont. Mivel itt a görbe  $(n-1)$ -ed rendben folytonosan megy át, a szimmetria miatt fennáll e pontban a szélsőérték helyét jelentő merőlegességi reláció. Valóban az  $u=1/2$  paraméterértéknél:

$$(6) \quad B(u) = r(\cos \frac{\alpha}{2})^n e^{jn \frac{\alpha}{2}}$$

$$\frac{\partial B}{\partial u} = 2rnj \operatorname{tg} \frac{\alpha}{2} (\cos \frac{\alpha}{2})^n e^{jn \frac{\alpha}{2}}$$

vagyis e helyen

$$\frac{\partial B}{\partial u} = j2n \operatorname{tg} \frac{\alpha}{2} B(u)$$

ami a sugárirányu és az érintőirányu vektorok merőlegességét jelenti. Behelyettesítéssel meggyőződhetünk róla, hogy a (3) kifejezés  $u$  paraméter szerinti második deriváltja az  $u = \frac{1}{2}$  helyen negatív, tehát a szélsőérték valóban maximum.

Ezek után felírhatjuk a Bézier-görbe és a kör maximális (sugárirányu) eltérésének kifejezését

$$(7) \quad H = R - |B(\frac{1}{2})|$$

és a (6) egyenletet felhasználva ( $r=R$ )

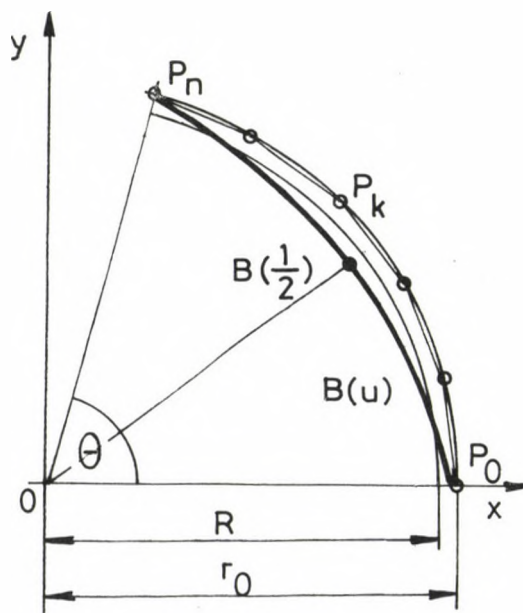
$$(8) \quad H = R [1 - (\cos \frac{\alpha}{2})^n]$$

vagy a közelítési kívánt körív  $\theta$  nyílásszögével kifejezve:

$$(9) \quad H = R [1 - (\cos \frac{\theta}{2n})^n]$$

A közelítés hibája láthatóan  $n$  növelésével (a  $P_i$  pontok számának növelésével) egyre csökken és  $n \rightarrow \infty$  esetén zérushoz tart.

Az eddig vizsgált és az 1. ábrán bemutatott helyzetben a közelítő Bézier-görbe első és utolsó pontja a köríven helyezkedik el, de egyébként a görbe mindenütt a körön belül halad. Egyenletesebb hibaeloszlást és kisebb abszolút hibát kaphatunk, ha a közelítési kívánt kör  $R$  sugaránál nagyobb sugáron ( $r$ ) helyezzük el a  $P_i$  Bézier-pontokat (2. ábra)..



2. ábra

Ilymódon az eredetileg zérus értékű hiba az  $u=0$  és  $u=1$  pontokban nőni fog, az eredetileg maximális hiba az  $u=\frac{1}{2}$  pontban pedig csökken. E hibák az  $r$  sugártól lineárisan függenek, és az optimális helyzetet ( $r=r_0$ ) ott kapjuk ahol

$$(10) \quad |B(0)|_{-R} = R - |B(\frac{1}{2})|$$

A  $|B(0)|_{-r_0}$  értéket, valamint a  $|B(\frac{1}{2})|_{-r_0} (\cos \frac{\alpha}{2})^n$  értéket felhasználva (10)-ből kapjuk:

$$(11) \quad r_0 = \frac{2R}{1 + (\cos \frac{\alpha}{2})^n}$$

illetve a  $\theta$  középponti szöggel kifejezve:

$$(12) \quad r_0 = \frac{2R}{1 + (\cos \frac{\theta}{2n})^n}$$

E képletek tehát megadják azt az  $r_0$  sugarat, amelyen el kell helyezni az  $n+1$  Bézier pontot egy  $\theta$  középponti-szögű,  $R$  sugaru körív optimális közelítéséhez. A közelítés hibája ez esetben

$$(13) \quad H_0 = r_0 - R = \frac{1 - \cos(\frac{\theta}{2n})^n}{1 + \cos(\frac{\theta}{2n})^n} R$$

lesz, vagyis a maximális hiba

$$(14) \quad \frac{H_0}{H} = \frac{1}{1 + (\cos \frac{\theta}{2n})^n}$$

arányban csökkenthető.

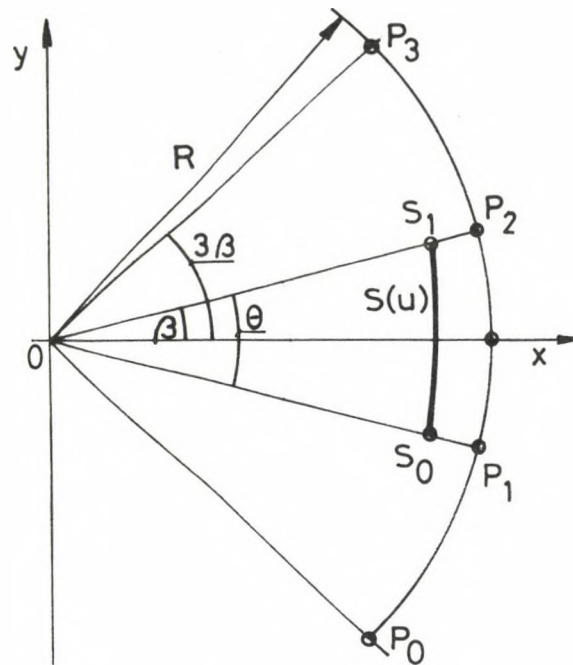
A körközelítés Bézier-görbékkel elérhető pontosságának numerikus értékeit az 1. és 2. táblázatban foglaltuk össze. Az 1. táblázat (55. oldal) egység sugaru körön elhelyezkedő Bézier-pontokkal számolt görbe ugyanezen körtől való maximális eltéré-

seit (a  $H/R$  értékeket) adja meg, míg a 2. táblázatban (56-58. oldalak) a (11) képlettel korrigált esetre vonatkozó eltéréseket tüntettük fel. Mindkét táblázatban a polinomok fokszáma  $n=1$  és  $n=10$  között változik.

## 2.2. B-SPLINE MÓDSZER

A görbetervezésben igen elterjedt spline módszer esetében egymáshoz előírt folytonossági rendben csatlakozó görbeszakaszokból állítjuk elő a kívánt görbealakot. E görbeszakaszokat a legtöbbször a görbeparaméter polinomjaiként állítjuk elő. A műszaki gyakorlatban és a számítógépes geometriai tervezésben majdnem kizárólagosan harmadfokú polinomokat használnak; tanulmányunkban mi is ezt az esetet vizsgáljuk. Harmadfokú polinomokból álló spline görbe másodrendben (és így görbületben is) folytonos a görbeszakaszok találkozási pontjában, és harmadrendben a görbeszakaszokon belül. Míg ez általában messzemenően kielégíti a műszaki-esztétikai követelményeket, a magasabbrendű polinomok oszcillációra hajlamosak.

Lokális görbeleírást valósít meg a B-spline reprezentáció [2]. Egy harmadfokú B-spline görbeivet négy támpont határoz meg: kör közelítéséhez helyezzük el ezeket egy  $r$  sugaru kör mentén egymástól egyenletes távolságban és szimmetrikusan az  $x$  tengelyre, (3. ábra). Vizsgáljuk először azt az esetet, amikor a támpontokat a közelíteni kívánt köríven helyezzük el és ennek megfelelően  $r=R$  (3. ábra). A B-spline görbe nem megy át a támpontokon, de belül halad a támpontok által meghatározott konvex poligonon.



3. ábra

Az ábra jelöléseivel a  $P_0, P_1, P_2, P_3$  pontok koordinátái:

$$(15) \quad \begin{array}{l} \begin{array}{cc} x & y \end{array} \\ P_0 : (r \cos 3\beta; -r \sin 3\beta) \\ P_1 : (r \cos \beta; -r \sin \beta) \\ P_2 : (r \cos \beta; r \sin \beta) \\ P_3 : (r \cos 3\beta; r \sin 3\beta) \end{array}$$

A közelítő görbe mentén az  $u$  görbeparaméter a  $0 \leq u \leq 1$  tartományban változik, és az  $u=0$  paraméterű pont ( $S_0=S(0)$ ) rajta van az  $OP_1$  sugáron, az  $u=1$  paraméterű pont ( $S_1=S(1)$ ) pedig az  $OP_2$  sugáron [2]. Tekintsük tehát a B-spline görbét a  $\theta=2\beta$  középponti szögű és  $R$  sugaru körív közelítésének (3. ábra). Ha újabb körivet akarunk a meglévőhöz csatlakoztatni, elegendő egyetlen újabb támpontot ( $P_4$ ) felvenni, és a  $P_1, P_2, P_3, P_4$  pontok által generált körív a meglévőhöz érintő-és görbület-folytonosan fog csatlakozni.

A  $P_0, P_1, P_2, P_3$  pontok által definiált harmadfoku B-spline görbe paraméteres egyenlete [3]:



$$(16) \quad S(u) = \frac{1}{6} [u^3 \ u^2 \ u \ 1] \begin{bmatrix} -1 & 3 & -3 & 1 \\ 3 & -6 & 3 & 0 \\ -3 & 0 & 3 & 0 \\ 1 & 4 & 1 & 0 \end{bmatrix} \begin{bmatrix} P_0 \\ P_1 \\ P_2 \\ P_3 \end{bmatrix}$$

Felhasználva itt a (15) alatti pontkoordinátákat, valamint elvégezve a mátrixműveleteket, az  $S(u) = s_x(u)\bar{i} + s_y(u)\bar{j}$  koordinátafüggvényekre a következőket kapjuk:

$$(17) \quad s_x(u) = r[(\cos 3\beta - \cos \beta)\frac{u^2}{2} + (\cos \beta - \cos 3\beta)\frac{u}{2} + \frac{1}{6}(\cos 3\beta + 5\cos \beta)]$$

$$(18) \quad s_y(u) = r\left[\frac{1}{3}(\sin 3\beta - \sin \beta)u^3 + (3\sin \beta - \sin 3\beta)\frac{u^2}{2} + (\sin 3\beta + \sin \beta)\frac{u}{2} - \frac{1}{6}(\sin 3\beta + 3\sin \beta)\right]$$

Egyszerű helyettesítéssel meggyőződhetünk róla, hogy

$$s_x(1-u) = s_x(u) \quad \text{és}$$

$$s_y(1-u) = -s_y(u)$$

vagyis a B-spline görbeiv szimmetrikus az  $u = \frac{1}{2}$  pontra és az  $x$  tengelyre miként a kör is. Továbbá a kör és a B-spline görbe maximális eltéréseit ott kapjuk, ahol a

$$(19) \quad \sqrt{s_x^2(u) + s_y^2(u)} = R$$

kifejezésnek maximuma van, azaz  $u$  szerinti deriváltja zérussal egyenlő. Elvégezve a deriválást kapjuk:

$$(20) \quad F(u) = s_x(u)\frac{\partial s_x(u)}{\partial u} + s_y(u)\frac{\partial s_y(u)}{\partial u} = 0$$

Mivel azonban a (20) kifejezés éppen az  $s_x\bar{i} + s_y\bar{j}$  sugárirányu vektor és a  $\frac{\partial s_x(u)}{\partial u}\bar{i} + \frac{\partial s_y(u)}{\partial u}\bar{j}$  érintőirányu vektor skaláris

szorzata, az eltérések szélső értéke ott van, ahol e két vektor merőleges egymásra. Figyelembe véve a fenti szimmetriarelációkat, valamint azt, hogy további görbeivék egymáshoz illesztése esetén a teljes B-spline görbe a rajzon látható görbedarab periódikus ismétléseiből áll, miközben a csatlakozásoknál a második deriváltig folytonos átmenet van, a fenti merőlegességi reláció fennáll az  $u=0$ ,  $u=\frac{1}{2}$  és  $u=1$  pontokban. (Erről behelyettesítéssel is könnyen meggyőződhetünk). Másrészt a (20) feltételeli egyenletben  $F(u)$  láthatóan  $u$ -ban ötödfoku, ezért legfeljebb öt különböző valós gyöke lehet. A második fejezetben közlünk egy módszert, amely  $F(u)$   $0 < u < 1$  intervallumba eső esetleges további gyökeinek kimutatására szolgál. E módszerrel végzett vizsgálatunk (amit terjedelmi okokból itt nem részletezünk) negatív eredménnyel zárul, tehát a B-spline görbe és a kör közötti eltérés szélsőértékeit a görbe végpontjaiban és a középpontban kapjuk ( $u=0$ ,  $u=\frac{1}{2}$ ,  $u=1$ ).

Behelyettesítéssel és trigonometriai azonosságok felhasználásával igazolhatjuk, hogy  $|S(0)| = |S(1)|$ , valamint

$$(21) \quad |S(0)| = \frac{r}{3} (2 + \cos 2\beta)$$

$$(22) \quad |S(\frac{1}{2})| = \frac{r}{6} [\cos \beta (5 + \cos^2 \beta)]$$

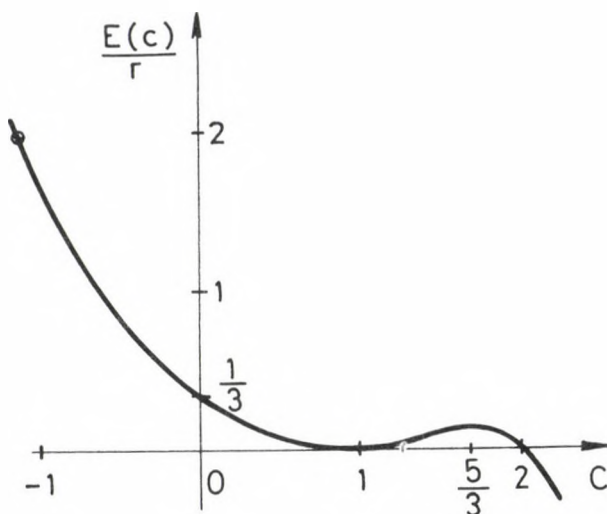
Ha e képletekbe esetünknek megfelelően  $r=R$ -et írunk, láthatjuk, hogy mindkét érték kisebb  $R$ -nél vagyis a közelítő görbe az  $R$  sugaru körön belül halad. Képezzük továbbá az

$$E(\beta) = |S(0)| - |S(\frac{1}{2})|$$

függvényt. A (21) és (22) képletek felhasználásával, valamint  $\cos \beta = c$ -t helyettesítve:

$$E(c) = \frac{r}{6} (-c^3 + 4c^2 - 5c + 2).$$

Függvényanalízissal meggyőződhetünk róla, hogy  $E(c)$  alakja a 4. ábrán rajzoltnak megfelelő (zérushelyek a  $c=1$ ,  $c=2$  helyeken, szélsőértékek a  $c=1$ ,  $c=\frac{5}{3}$  helyeken).



4. ábra

Mivel  $c=\cos\beta$ -ra  $-1\leq c\leq 1$  és e tartományban  $E(c)\geq 0$ , tehát levonhatjuk a következtetést, hogy  $|S(0)|\geq |S(\frac{1}{2})|$  bármilyen  $\beta$  szögre. Ez egyúttal azt is jelenti, hogy a spline görbe körtől való legnagyobb eltérését az  $u=\frac{1}{2}$  pontban kapjuk:

$$(23) \quad H = R - |S(\frac{1}{2})| = R \frac{\theta - 5\cos\beta - \cos^3\beta}{\theta}$$

vagy pedig a körív  $\theta$  középponti szögével kifejezve:

$$(24) \quad H = R \left[ 1 - \cos\frac{\theta}{2} \left( \frac{\cos\theta + 1}{2} \right) \right]$$

A (23), (24) képletek megadják a hibafüggvény maximumát. Szélsőértéke van a hibafüggvénynek az  $u=0$  és  $u=1$  helyen is, az előzőek alapján ez minimumpont. A spline görbe eltérése a körtől ez utóbbi pontokban azonos értékű, és az  $u=\frac{1}{2}$  pontbeli maximális eltéréssel azonos értelmű (előjelű). Ha tehát elvetjük azt a (legegyszerűbb) kiinduló feltételt, hogy a görbét definiáló támpontok a közelítési kívánt  $R$  sugaru köríven legyenek, jobb

közelítést kaphatunk. Ennek feltétele:

$$|S(0)| - R = R - |S(\frac{1}{2})|$$

Felhasználva itt a (21), (22) képleteket, megkapjuk azt az optimális sugarat, amelyen el kell helyezni a B-spline görbét definiáló pontokat az  $R$  sugaru körív jobb közelítéséhez:

$$(25) \quad r_o = \frac{12R}{\cos^3 \beta + 4\cos^2 \beta + 5\cos \beta + 2}$$

illetve a többszörös szögekkel kifejezve.

$$(26) \quad r_o = \frac{48R}{\cos^3 \beta + 8\cos^2 \beta + 23\cos \beta + 16}$$

és itt  $\beta = \frac{\theta}{2}$ , a körívhez tartozó középponti szög fele. A körközelítés hibájára ez esetben

$$(27) \quad H_o = R \frac{2 - 5\cos \beta + 4\cos^2 \beta - \cos^3 \beta}{2 + 5\cos \beta + 4\cos^2 \beta + \cos^3 \beta}$$

adódik. A 3. táblázatban (59. oldal) megadjuk a  $\theta$  középponti szögü,  $R=1$  sugaru körív B-spline görbével való közelítésének numerikus értékeit; a maximális hibát az eredeti  $R$  sugaru köríven elhelyezkedő támpontok esetére, a jobb közelítéshez tartozó sugarat (25) ill. (26) szerint, valamint az ez esetben adódó hibát (27) szerint, és végül a  $H_o/H$  hányadost.

### 2.3. RP MÓDSZER

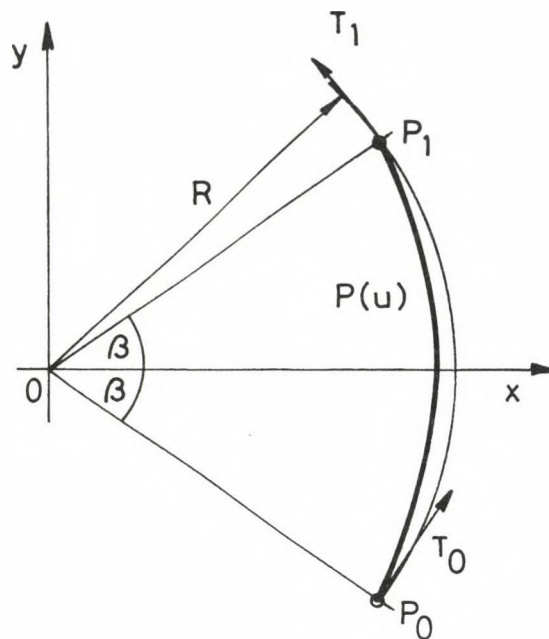
Az RP módszer elsősorban a gépészmérnöki tervezői gyakorlatban előforduló görbék interpolációjára lett kidolgozva. E görbék jellemzője, hogy váltakozva tartalmazhatnak egyszerű görbealakokat (egyenes, kör) és változatos geometriájú un. sza-

badformájú görbeszakaszokat. E görbeszakaszok folytonos érintővel csatlakoznak egymáshoz, a görbületbeli folytonosságot azonban általában nem követeljük meg (már pl. egy egyenes és egy körív csatlakozása sem elégíti ki). Ilyen jellegű görbék interpolációjára előnyösen használható az RP módszer [4].

A módszer kiinduló adatként térbeli pontokat használ és az interpolált görbe átmegy e pontokon. Két adat-pont között harmadfoku polinomfüggvény írja le a görbét, és e görbeszakaszok folytonos érintővel csatlakoznak egymáshoz. Az interpoláció lokális abban az értelemben, hogy a görbe alakja egy kiválasztott pontban csak az ezen pont definiált környezetében levő adat-pontok helyzetétől függ. Ily módon egy adat-pont helyzetének változtatása a görbének csak egy jól definiált részére van befolyással. A görbe jó közelítéssel természetes paraméterezésű; a definiáló pontokban az érintővektorok egységvektorok, és a paraméter változása a görbe mentén közelítőleg az ivhosszal egyezik meg.

Az RP módszer automatikusan biztosítja, hogy ha három szomszédos adatpont egy egyenesre esik, a köztük levő görbeszakaszok egyenessé redukálódnak, amelyek érintőben folytonos átmenettel csatlakoznak környezetükhöz. Az egyenes szakaszok paraméterezése lineáris [5]. Míg tehát egyenesszakaszokat egzakt módon előállíthatunk az RP módszerrel, ez körre (körívre) nem mondható el; a harmadfoku, paraméteres görbe csak közelíti a körívet. A közelítés pontossága attól függ, hogy a módszer milyen értékeket szolgáltat a görbeszakaszt meghatározó geometriai mennyiségekre (kezdeti és végpontbeli érintők). A továbbiakban megvizsgáljuk, hogy az RP módszerrel interpolált görbe és a kör maximális eltérése hogyan függ a közelíteni kívánt körív középponti szögétől.

Közelítsük tehát az 5. ábrán látható  $R$  sugaru és  $\theta=2\beta$  középponti szögű körívet RP görbével (5. ábra), és vegyük fel az interpoláció alap-pontjait először az  $R$  sugaru körön ( $r=R$ ).



5. ábra

Az  $RP$  görbedarabot a  $P_0, P_1$  végpontok, e pontokban az érintővektorok  $(T_0, T_1)$  valamint az  $U$  paraméterintervallum egyértelműen meghatározza [4] (a  $P_0$  pontban  $u=0$ ;  $P_1$  pontban  $u=U$ ). Figyelembe véve, hogy az  $RP$  módszer esetén az érintővektorok a görbét definiáló pontokban egységvektorok, a kezdő és végpontban a pontkoordináták és az érintővektor komponensei;

$$(28) \quad \begin{aligned} P_0 &: (r \cos \beta; -r \sin \beta) \\ P_1 &: (r \cos \beta; r \sin \beta) \\ T_0 &: (\sin \beta; \cos \beta) \\ T_1 &: (-\sin \beta; \cos \beta) \end{aligned}$$

A (28) feltételeket kielégítő harmadfokú paraméteres görbe egyenlete (figyelembe véve hogy  $0 \leq u \leq U$ ):

$$P(u) = p_x(u)\vec{i} + p_y(u)\vec{j}$$

ahol

$$(29) \quad \begin{aligned} p_x(u) &= -\frac{\sin\beta}{U} u^2 + \sin\beta u + r \cos\beta \\ p_y(u) &= \left[ \frac{2U \cos\beta - 4r \sin\beta}{U^3} u^3 + \frac{6r \sin\beta - 3U \cos\beta}{U^2} u^2 + \right. \\ &\quad \left. + u \cos\beta - r \sin\beta \right] \end{aligned}$$

A kvázi-természetes paraméterezést biztosító  $U$  paraméterintervallum az  $RP$  módszer szerint a következő összefüggésekből határozható meg [4]:

$$(30) \quad U = \frac{3}{A} \left( \sqrt{B^2 + 2AC} - B \right)$$

ahol

$$\begin{aligned} A &= \gamma - T_0 T_1 \\ B &= \Delta P (T_0 + T_1) \\ C &= (\Delta P)^2 \end{aligned}$$

és  $\Delta P = P_1 - P_0$ .

Ha most a (29) összefüggésbe behelyettesítjük (28)-ből a görbeivet definiáló adatokat, a paraméter-intervallum hosszára a következő összefüggést kapjuk:

$$(31) \quad U = \frac{\theta \sin\beta}{2 + \cos\beta} r$$

Ezzel tehát az összes adat, amely a kört közelítő  $RP$  görbeivet meghatározza,  $\beta$  függvényében ismert.

A továbbiakban az  $RP$  görbe és a körív maximális eltérésének a kiszámításával foglalkozunk. E maximum helyén az

$$R - |P(u)| = R - \sqrt{p_x^2(u) + p_y^2(u)}$$

kifejezésnek szélsőértéke van, aminek szükséges feltétele az



$$F(u) = p_x(u) \frac{\partial p_x(u)}{\partial u} + p_y(u) \frac{\partial p_y(u)}{\partial u}$$

függvény zérus volta. A jobboldalon azonban az  $u$  paraméterű görbeponthoz mutató sugárirányú vektor:  $P(u) = p_x \vec{i} + p_y \vec{j}$  és az ezen pontbeli érintővektor skaláris szorzata szerepel. Az említett szélsőérték tehát ott lép fel, ahol e két vektor merőleges egymásra. Nyilvánvalóan fennáll e merőlegességi reláció a görbeiv kezdő és végpontjában ( $u=0$ ;  $u=U$ ). Fennáll továbbá még az  $u = \frac{U}{2}$  paraméterű pontban, a görbeiv és az  $x$  tengely metszéspontjában is. Erről részint behelyettesítéssel, részint közvetlen szemlélet útján a görbe szimmetriáját tekintve is meggyőződhetünk. Ugyanakkor a második fejezetben közölt módszert a jelen esetre alkalmazva könnyen meggyőződhetünk arról, hogy az  $F(u)$  függvénynek nincs további gyökhelye a  $0 < u < U$  tartományban. Az  $RP$  görbe és a körív eltéréseinek szélsőértékét tehát az  $u=0$ ,  $u = \frac{U}{2}$ ,  $u=U$  paraméterű pontokban kapjuk.

A kezdő és végpontban ( $u=0$ ,  $u=U$ ) az eltérések értéke  $r=R$  esetén nyilvánvalóan zérus (együttal az eltérésfüggvénynek minimuma van). A két görbe eltéréseinek maximuma tehát az  $u = \frac{U}{2}$  pontban adódik.

$$H = R - \left| P\left(\frac{U}{2}\right) \right|$$

Felhasználva a (29) alatti koordináta-függvényeket valamint (31)-et, az  $RP$  görbékkel való körközelítés hibájára a következő képletet kapjuk:

$$(32) \quad H = \frac{(1 - \cos \beta)^2}{4 + 2 \cos \beta} R$$

és itt  $\beta = \frac{\theta}{2}$ , a körív fél középponti szöge.

Az  $R$  sugarú körívet közelítő  $RP$  görbe zérus hibával adja vissza a körív kezdő és végpontját, illetve itt az érintőket, a körtől való maximális eltérést pedig az  $u = \frac{U}{2}$  pontban (a görbe szimmetriapontjában) (32) szerint számíthatjuk. A képletből láthatóan a hiba bármely középponti szögre pozitív, tehát az  $RP$



görbe mindig a köríven belül halad.

Ha eltekintünk a végpontokbeli egzakt körinterpolációtól és megnöveljük az interpoláció alappontjainak sugarát ( $r_0$ ), kisebb hibát is kaphatunk. Ennek feltétele:

$$(33) \quad |P(0)| - R = R - |P(\frac{U}{2})|$$

Használjuk fel itt a (29), (30), (31) egyenleteket, és vegyük figyelembe, hogy az alappontok sugara most  $r_0$  (e képletekben  $r$  helyébe  $r_0$  kerül). Ilymódon egy egyenletet kapunk  $r_0$ -ra, melynek megoldása:

$$(34) \quad r_0 = \frac{8+4\cos\beta}{6+6\cos\beta+\sin^2\beta} R$$

Ezen  $r_0 > R$  esetén tehát a kezdő és végpontban fellépő hiba egyenlő abszolút értékű lesz a görbe középpontjában fellépő hibával. E hibára

$$(35) \quad H_0 = r_0 - R = \frac{(1-\cos\beta)^2}{6(1+\cos\beta)+\sin^2\beta} R$$

vagyis az eredeti helyzethez képest

$$(36) \quad \frac{H_0}{H} = \frac{4+2\cos\beta}{6+6\cos\beta+\sin^2\beta}$$

mértékben csökkent a körközelítés hibája. Mivel azonban az  $RP$  módszerrel való körközelítés a korrekcióval elvesztette interpoláló jellegét a körív végpontjaiban, a tervezés szempontjából itt kisebb jelentősége van e korrekciónak mint az egyéb görbe-tervező módszereknél.

A 4. táblázatban (60. oldal) megadjuk az  $RP$  módszerrel való körközelítés numerikus értékeit; a maximális hibát ( $H$ ) az alapesetre vonatkozóan (32) szerint, az  $r_0$  korrekciós sugarat (34), valamint a  $H_0$  hibát (35) szerint, végül pedig  $H_0$  és  $H$  arányát (36) szerint. A táblázatban szereplő értékek egység sugaru körre vonatkoznak.

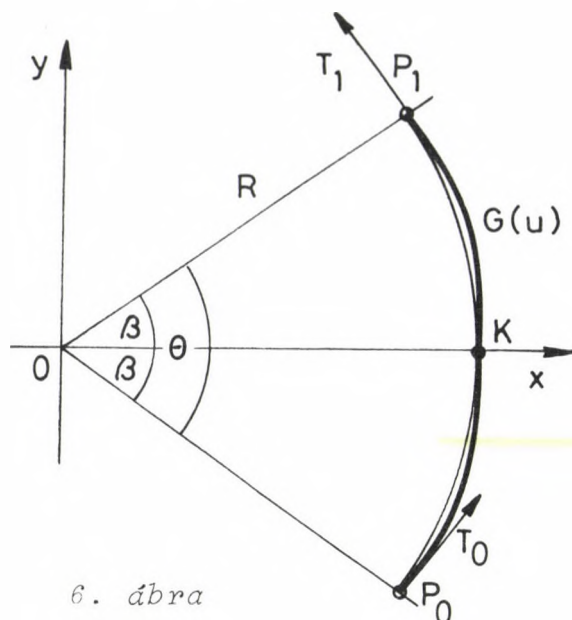
### 3. OPTIMALIS KÖRKÖZELITÉSEK

Az előző fejezetben azt a görbetervezés szempontjából leg-egyszerűbb esetet vizsgáltuk, amikor a körivet közelítő görbét definiáló - és valamely interpolációs vagy approximációs módszer kiinduló adataként szolgáló - pontok maguk is köríven helyezkednek el. Pontosabb körközelítést kaphatunk azonban, ha e feltételtől eltekintünk, és megengedjük, hogy ezen pontok, vagy ezek némelyike különböző távolságban legyen a kör középpontjától. A 3. fejezetben ezt az esetet tesszük vizsgálat tárgyává.

Vizsgálatainkat harmadfoku paraméteres görbére végezzük. Egy ilyen görbét egyértelműen definiálhatunk négy geometriai adattal - a két végponttal és itt az érintővektorokkal - valamint a görbeparaméter változásának intervallumával. Ez utóbbira az egyszerűség kedvéért az  $u[0,1]$  intervallumot választjuk. E fejezetben megadjuk az optimális görbealakot definiáló geometriai adatokat, majd az így adódó görbe Bézier és B-spline reprezentációjához tartozó geometriai adatokat.

#### 3.1. A TIPUSU KÖRKÖZELITÉS

E fejezetben a körközelítés következő módját vizsgáljuk: Közelítsük az  $R$  sugaru  $\theta=2\beta$  nyílásszögű körívet egy olyan harmadfoku paraméteres görbével ( $G(u); 0 \leq u \leq 1$ ); amely átmegy a körív kezdő és végpontján: a  $P_0$ , ill.  $P_1$  pontokon. Határozzuk meg továbbá e pontokban az érintővektorok hosszát ( $t$ ) oly módon, hogy a közelítő görbe átmenjen a körív  $K$  szimmetriapontján is (lásd 6. ábra) [6].



6. ábra

A  $P_0$  és  $P_1$  pontban a koordináták és az érintővektorok komponensei:

$$\begin{aligned}
 P_0 &: (R \cos\beta; -R \sin\beta) \\
 P_1 &: (R \cos\beta; R \sin\beta) \\
 T_0 &: (t \sin\beta; t \cos\beta) \\
 T_1 &: (-t \sin\beta; t \cos\beta)
 \end{aligned}
 \tag{37}$$

és feladatunk a  $t$  értékének (az érintővektorok abszolút értékének) meghatározása.

Belátható, hogy a (37) feltételeket az  $u=0$ , ill.  $u=1$  pontban kielégítő harmadfoku paraméteres görbe egyenlete:

$$G(u) = g_x(u)\vec{i} + g_y(u)\vec{j}$$

$$g_x(u) = -u^2 t \sin\beta + ut \sin\beta + R \cos\beta$$

$$\begin{aligned}
 g_y(u) &= u^3(2t \cos\beta - 4R \sin\beta) + u^2(6R \sin\beta - 3t \cos\beta) + \\
 &+ ut \cos\beta - R \sin\beta
 \end{aligned}
 \tag{39}$$

Kiinduló feltételünk szerint a  $G(u)$  közelítő görbe átmegy a kör  $K$  szimmetriapontján (6. ábra), vagyis

$$g_x\left(\frac{1}{2}\right) = R$$

Figyelembe véve (38)-at, e feltételből a végpontokbeli tangensvektorok  $t$  abszolút értékére (hosszára)

$$(40) \quad t = \frac{4(1-\cos\beta)}{\sin\beta} R$$

adódik. Könnyen beláthatjuk azt is, hogy a  $K$  pontban a görbe érintőjének  $x$ -irányú komponense eltűnik, tehát e közös pontban a körnek és görbének közös érintője van.

A következőkben a  $G(u)$  görbe és a kör maximális eltérésének a kiszámításával foglalkozunk. Keressük tehát a

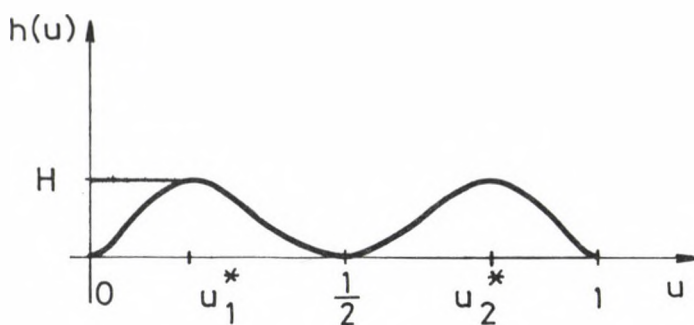
$$(41) \quad h(u) = |G(u)| - R = \sqrt{g_x^2(u) + g_y^2(u)} - R$$

függvény szélsőértékeit. A szélsőérték létezésének szükséges feltétele, hogy a (41) hibafüggvény  $u$  szerinti deriváltja eltűnjön, azaz

$$(42) \quad F(u) = \frac{dh(u)}{du} = g_x(u) \frac{\partial g_x(u)}{\partial u} + g_y(u) \frac{\partial g_y(u)}{\partial u} = 0$$

legyen. Itt azonban felismerhetjük a  $g(u) = g_x(u)\vec{i} + g_y(u)\vec{j}$  sugárirányú vektor és a  $\frac{\partial g_x(u)}{\partial u} \vec{i} + \frac{\partial g_y(u)}{\partial u} \vec{j}$  érintővektor skaláris szorzatát. Ennek zérus volta a két vektor egymásra merőleges helyzetét jelenti.

Szélsőérték feltételünk nyilvánvalóan teljesül az  $u=0$ ,  $u=\frac{1}{2}$ ,  $u=1$  pontokban; itt a hiba értéke egyuttal zérus. Másrészt az  $F(u)$  függvény  $u$ -ban ötödfoku függvény, így öt különböző zérushelye lehet. (A  $h(u)$  hibafüggvény alakját a 7. ábrán láthatjuk.) A továbbiakban a még hiányzó két zérushely meghatározásával foglalkozunk.



7. ábra

Közvetlen geometriai szemlélettel és behelyettesítéssel is beláthatjuk, hogy a  $G(u)$  görbe a  $0 \leq u < 1$  intervallumban szimmetrikus az x-tengelyre, és mivel az x tengellyel való metszéspontban  $(K) u_k = \frac{1}{2}$ ; következésképpen:

$$g_x(u) = g_x(1-u)$$

$$g_y(u) = -g_y(1-u)$$

Mivel a kör is ugyanilyen szimmetriatulajdonságot mutat, a kettő különbségként előálló  $h(u)$  hibafüggvény is szimmetrikus  $u = \frac{1}{2}$ -re. Ebből következik, hogy a két hiányzó szélsőértékponthoz tartozó  $u$  érték  $\frac{1}{2}$ -től való eltérése azonos abszolút értékű.

Másrészt azonban az  $F(u)$  ötödfoku függvény az előzőek alapján felbontható a következő gyöktényező alakra:

$$(43) \quad F(u) = u(u-1)\left(u-\frac{1}{2}\right)M(u) = N(u)M(u)$$

ahol  $M(u)$  másodfoku függvény és gyöke a két hiányzó szélsőértékponthoz tartozó  $u$  érték.  $(u_{1,2}^*)$ . Vegyük fel  $M(u)$ -t az

$$(44) \quad M(u) = m_2 u^2 + m_1 u + m_0$$

alakban. Mivel gyökei szimmetrikus helyzetűek  $u = \frac{1}{2}$ -re, maga az  $M(u)$  függvény is hasonló szimmetriát mutat:

$$M(1-u) = M(u)$$

E feltételből

$$m_1 = -m_2$$

adódik, vagyis (44) egyszerűbben is írható

$$M(u) = m_2 u^2 + m_2 u + m_0$$

A keresett gyökök tehát:

$$(45) \quad u_{1,2}^* = \frac{1}{2} \pm \frac{1}{2} \sqrt{1 - 4 \frac{m_0}{m_2}}$$

A szimmetria miatt a továbbiakban csak  $u_1^*$ -al foglalkozunk, és ezt  $u^*$ -al jelöljük.

Tételezzük fel továbbá, hogy ismerjük  $M(u)$  értékét az  $u=0$  helyen:  $M(0) = M_0$  és az  $u=\frac{1}{2}$  helyen:  $M(\frac{1}{2}) = M_{1/2}$ .

Ezekkel a (45)-ben szereplő  $\frac{m_0}{m_2}$  hányados kifejezhető.

$$\frac{m_0}{m_2} = \frac{M_0}{4(M_0 - M_{1/2})}$$

és ezt  $u^*$  képletébe írva:

$$(46) \quad u^* = \frac{1}{2} - \frac{1}{2} \sqrt{\frac{M_{1/2}}{M_{1/2} - M_0}}$$

Az  $M(u)$  függvény értékei általában megkaphatók az

$$M(u) = \frac{F(u)}{N(u)}$$

alakban. Speciálisan az  $u=0$ , és  $u=\frac{1}{2}$  az  $F(u)$  és  $N(u)$  függvények gyökhelyei, így itt a l'Hopital szabályt kell alkalmazni. Az  $u=0$  helyen:

$$(47) \quad M(u) = \lim_{u \rightarrow 0} \frac{F(u)}{N(u)} = \lim_{u \rightarrow 0} \frac{\frac{\partial F(u)}{\partial u}}{\frac{\partial N(u)}{\partial u}} = \lim_{u \rightarrow 0} \frac{F'(u)}{N'(u)}$$

és hasonlóképpen  $u = \frac{1}{2}$ -re is. (Az  $u$ -szerinti deriváltat itt és a továbbiakban ' -vel jelöljük). Figyelembe véve, hogy

$$N(u) = u(u-1)(u-\frac{1}{2}) = u^3 - \frac{3}{2}u^2 + \frac{1}{2}u$$

$$N'(u) = 3u^2 - 3u + \frac{1}{2}$$

a keresett derivált-értékek:

$$N'(0) = \frac{1}{2}; \quad N'(\frac{1}{2}) = -\frac{1}{4}$$

Ezek felhasználásával (47) szerint

$$M(0) = 2F'(0); \quad M(\frac{1}{2}) = -4F'(\frac{1}{2})$$

majd ezt  $u^*$  (46) alatti képletébe helyettesítve:

$$(48) \quad u^* = \frac{1}{2} - \frac{1}{2} \sqrt{\frac{2F'(\frac{1}{2})}{2F'(\frac{1}{2}) + F'(0)}}$$

A (48) képletben szereplő  $F'(u)$  értékeket  $F(u)$  (42)-ben felírt alakjának  $u$ -szerinti deriválásával kapjuk:

$$(49) \quad F'(u) = \frac{dF}{du} = \frac{d}{du} \left( g_x \frac{\partial g_x}{\partial u} + g_y \frac{\partial g_y}{\partial u} \right) = \\ = \left( \frac{\partial g_x}{\partial u} \right)^2 + g_x \frac{\partial^2 g_x}{\partial u^2} + \left( \frac{\partial g_y}{\partial u} \right)^2 + g_y \frac{\partial^2 g_y}{\partial u^2}$$

A (48), (49) képletek igen általánosak. Segítségükkel megíthetjük a harmadfokú, végpontokban érintőleges körközelítések hibafüggvényeinek alakját; eldönthetjük, hogy felvesz-e a hibafüggvény szélsőértéket a végpontokon és a felezőponton kívül és

hol? Ehhez mindössze a közelítő módszerre jellemző  $g_x(u)$ ,  $g_y(u)$  függvények ill. deriváltjaik helyettesítési értékeire van szükség az  $u=0$  és  $u=\frac{1}{2}$  pontokban.

Alkalmazzuk eredményeinket a fejezet elején vázolt A típusú körközelítésre. A (48) képlet kiértékeléséhez szükséges derivált értékeket (38) és (39)-ből számíthatjuk:

$$(50) \quad \begin{aligned} \frac{\partial g_x}{\partial u} &= -2t u \sin\beta + t \sin\beta \\ \frac{\partial^2 g_x}{\partial u^2} &= -2t \sin\beta \\ \frac{\partial g_y}{\partial u} &= 6(t \cos\beta - 2R \sin\beta)(u^2 - u) + t \cos\beta \\ \frac{\partial^2 g_y}{\partial u^2} &= 6(t \cos\beta - 2R \sin\beta)(2u - 1) \end{aligned}$$

E deriváltak helyettesítési értékeit az  $u=0$ ,  $u=\frac{1}{2}$  helyeken (figyelembe véve  $t$  (40) alatti kifejezését) az 5. táblázatban foglaltuk össze.

	$g_x$		$g_y$	
	$u=0$	$u=1/2$	$u=0$	$u=1/2$
$g$	$R \cos\beta$	$R$	$-R \sin\beta$	$0$
$\frac{\partial g}{\partial u}$	$4R(1-\cos\beta)$	$0$	$\frac{4R(1-\cos\beta)}{\operatorname{tg}\beta}$	$\frac{3-2\cos\beta-\cos^2\beta}{\sin\beta} R$
$\frac{\partial^2 g}{\partial u^2}$	$-8R(1-\cos\beta)$	$-8R(1-\cos\beta)$	$\frac{12R(1-\cos\beta)^2}{\sin\beta}$	$0$

5. táblázat



Mindezek felhasználásával a görbe és a kör maximális eltérésének helyére  $u^*$ -ra a következő összefüggést nyerjük.

$$(51) \quad u^* = \frac{1}{2} - \frac{1}{2} \frac{2(1-\cos\beta) - \sin^2\beta}{\sqrt{12(1-\cos\beta)^2 + 4\sin\beta(1-\cos\beta)(\sin 2\beta - \sin\beta) - 5\sin^4\beta}}$$

A közelítő görbe és a kör eltérésének maximumát ezek után könnyen kiszámíthatjuk a

$$(52) \quad H = |G(u^*)| - R = \sqrt{g_x^2(u^*) + g_y^2(u^*)} - R$$

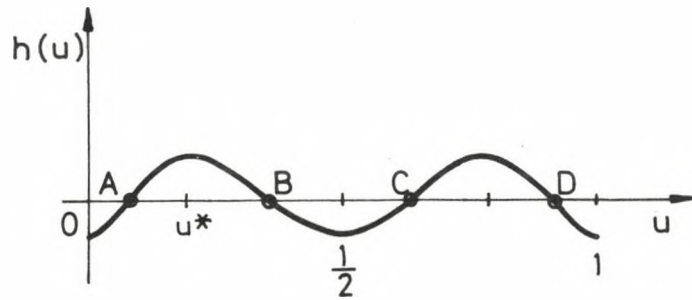
kifejezés kiértékelésével, ahol  $u^*$ -ot (51)-ből vesszük.

A 6. táblázatban (ld. 61. oldalon) megadjuk a tárgyalt körközelítés numerikus értékeit; a végpontokbeli érintővektor hosszát (40) szerint, a maximális eltérés helyére jellemző  $u^*$  értéket (51) szerint, valamint a számított maximális eltéréseket a körív középponti szögének  $\theta = 2\beta$ -nak függvényében és egység sugaru körre vonatkoztatva.

### 3.2. B TIPUSU KÖRKÖZELITÉS

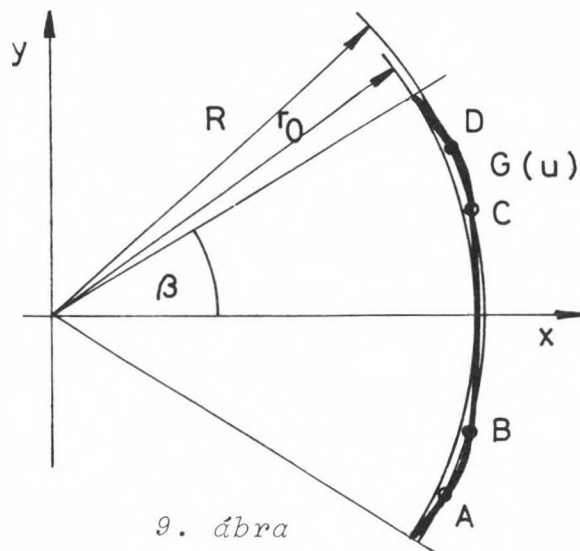
Az előző fejezetben tárgyalt körközelítés esetén (A-típusú közelítés) a harmadfokú paraméteres közelítő görbe ( $G(u)$ ) kezdő, középső és végpontja egybeesik a körív ugyanilyen helyzetű pontjaival, és ennek megfelelően a hibafüggvény a 7. ábrán látható két maximummal és három minimumponttal bíró függvény. A görbe mindenütt a körön kívül halad, a  $|G(u)| - R$  képlettel definiált hiba mindenütt pozitív.

Egyenletesebbé tehetjük a hibák eloszlását, ha a hibafüggvényt eltoljuk oly módon, hogy a maximális és a minimális hibák azonos abszolút értékűek és ellenkező előjelűek legyenek (8. ábra).



8. ábra

Ez természetesen azzal a következménnyel jár, hogy a körív jellegzetes pontjai (kezdőpont, végpont, szimmetriapont) nem lesznek rajta a görbén, hanem a görbe "körülfontja" a körivet (9. ábra) és négy pontban metsződik vele.



9. ábra

A hibafüggvény 8. ábrán bemutatott eltolását természetesen úgy érhetjük el, hogy a  $G(u)$  görbe generálásához egy, a közelítési kívánt kör  $R$  sugarától eltérő  $r_0$  sugarat választunk, amelyre nyilván  $r_0 < R$ . Ezen  $r_0$  sugáron helyezük el  $\pm\beta$  nyílásszöggel a görbe kezdő illetve végpontját, az érintőket pedig e pontokban a (40) képlettel határozzuk meg  $R=r_0$  helyettesítés figyelembevételével. A görbe egyenlete ezek után (38) és (39) szerint adódik.

Feladatunk tehát a módosított sugár ( $r_0$ ) meghatározása. A fejezet elején tárgyalt egyenletes hibaeloszlást akkor kapjuk, ha (ld. a 8. és 9. ábrát)

$$(53) \quad R - |G(0)| = |G(u^*)| - R$$

ahol  $u^*$  a maximumpont helye, és az (51) képletből számítható.

A (40) képlet értelmében a végpontbeli érintővektorok hossza ( $t$ ) arányos a görbe "generálási sugarával" ami jelen esetben  $r_0$  - ez egyúttal a kezdő és végpont középponttól való távolsága is. Következésképpen nyilvánvaló, (lásd a (38) (39) egyenleteket), hogy a  $G(u)$  görbe bármely pontjának origótól mért távolsága arányos  $r_0$ -al. A maximumpontra vonatkoztatva ezt:

$$(54) \quad |G(u^*)| = C r_0$$

és az előző fejezet analízise alapján  $C > 1$  és  $C$  már nem függ  $r_0$ -tól, hanem csak a középponti szögtől:  $C = C(\beta)$ . Mivel továbbá  $G(0) = r_0$ , az (53) feltételi egyenlet így írható:

$$C r_0 - R = R - r_0$$

Ebből a keresett sugár:

$$(55) \quad r_0 = \frac{2}{C+1} R$$

és ez láthatóan kisebb  $R$ -nél.

A körív és a közelítő görbe maximális eltérése ezek után

$$(56) \quad H_0 = R - r_0 = \frac{C-1}{C+1} R$$

ami az előzőek alapján a következő pontokban lép fel:  $u=0$ ,  $u=1/2$ ,  $u=1$ . Ugyanilyen abszolút értékű, de ellenkező előjelű eltérés adódik az  $u=u_1^*$ ,  $u=u_2^*$  paraméterű pontokban (ld. a 8. ábrát). A sugárkorrekció nélküli harmadfoku körközelítés (A típusú közelítés) esetére (52) szerint:

$$H = |G(u^*)|_{-R} = CR - R = (C-1)R$$

Ezt összevetve (56)-tal, a hiba csökkenésének mértékére a következőt kapjuk:

$$(57) \quad \frac{H_0}{H} = \frac{1}{C+1}$$

Mivel reális középponti szögek ( $\beta < 90^\circ$ ) esetén  $C$  egység körüli érték, (57) szerint a hibák durván feleződésére számíthatunk.

Megkaphatjuk a korrigált sugár  $r_0$  és a hibák  $H_0$  kifejezését a fél középponti szög ( $\beta$ ) függvényében is. Mindössze a  $C$  együtthatót kell a  $\beta$ -val kifejezni, felhasználva az (54), (55), (38), (39), (40) összefüggéseket. Az igen terjedelmes képletek felírásától azonban eltekintünk. Megadjuk viszont  $r_0$ ,  $H_0$  valamint  $H_0/H$  numerikus értékeit a középponti szög ( $\theta$ ) függvényében és egységsugaru körre ( $R=1$ ) vonatkoztatva (7. táblázat, 62. oldalon).

### 3.3. C TÍPUSU KÖRKÖZELITÉS

Az előző fejezetekben bemutattunk két körközelítést; az egyik (A típusu körközelítés) olyan görbét ad, hogy a körív jellegzetes pontjai egyuttal görbepontok is (kezdőpont, végpont, középső pont), a másik (B típusu körközelítés) esetében ez nem áll fenn, azonban a körivtől való eltérések kisebbek. Mindkét esetben a görbét meghatározó érintővektor hossza, a maximális eltérés helye, a hiba nagysága a körív adataiból ( $R, \beta$ ) egyszerű, - vagy nem túl bonyolult képletek segítségével meghatározható.

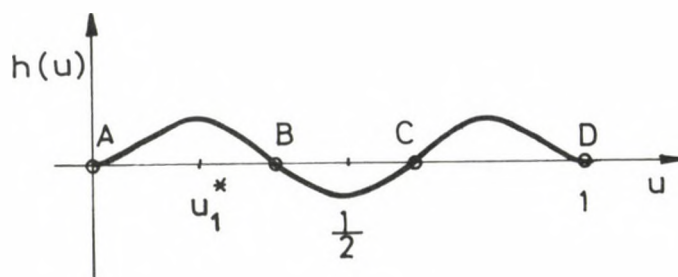
A jelen fejezetben tárgyalt C típusu körközelítésnél az A és B típusu körközelítések előnyei egyesítésére törekszünk. Megtartjuk az A módszer jellegzetes pontokat visszaadó tulajdonságát a körív kezdő és végpontjában, de növelni kívánjuk az A-nál elért pontosságot. Látni fogjuk, hogy a végpontokbeli érintővektorok hosszának meghatározása nemlineáris egyenletre

vezet, ami zárt alakban nem oldható meg. Számítógépes numerikus megoldással azonban kaphatunk egy táblázatot, amely a kör középponti-szög értékeihez hozzárendeli a választandó érintővektor abszolút értékeket.

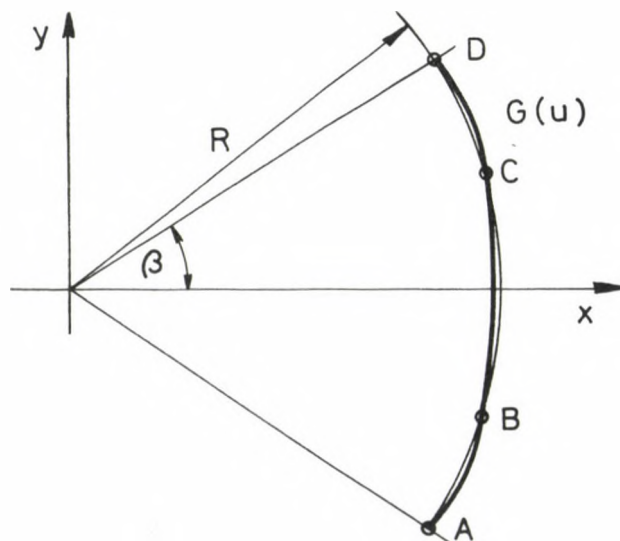
A 3.1. fejezetben a körív végpontjain átmenő harmadfoku közelítő görbe végpontokbeli érintővektorának hosszát ( $t$ ) azzal a feltétellel határoztuk meg, hogy a görbe menjen át a körív felezőpontján (a  $K$  ponton), és így kaptuk a (40) képletet. E fejezet elején tett kikötéseket pedig kielégíthetjük, ha a C típusú körközelítéshez az érintővektorok hosszát a végpontokban a

$$(58) \quad |G(u^*)| - R = R - |G(1/2)|$$

feltételből határozzuk meg. A C típusú körközelítés hibafüggvényét a 10. ábrán láthatjuk, a közelítő görbe és a kör helyzetét pedig a 11. ábrán.



10. ábra



11. ábra

A görbének tehát négy közös pontja van a körívvel, miként a B-esetben, azonban B-vel ellentétben ezek közül két pont jellegzetes pont (A,D). Az A esethez viszonyítva hiányzik a középső pont mint összeeső jellegzetes pont, de van helyette két közös belső pont (B,C).

Irjuk fel az (58) feltételi egyenletet  $|G(1/2)|$  részletesebb kifejtésével, amit az általános (38) egyenletbe  $u=\frac{1}{2}$ -et helyettesítve nyerhetünk:

$$(59) \quad |G(u^*)|_{-R} = R - \frac{t}{4} \sin \beta - R \cos \beta$$

Itt  $|G(u^*)|$  bonyolult módon függ  $t$ -től. Ez rögtön látható, ha figyelembe vesszük, hogy az abszolút érték a koordináták négyzetösszegével fejezhető ki, ezek pedig a  $t$  értéke mellett a paraméterérték - jelen esetben a maximumponthoz tartozó paraméterérték  $u^*$  - köbétől függenek. Az  $u_1^*$  paraméter maga is függ az érintővektorok hosszától  $t$ -től, úgyhogy mindezt figyelembe véve (59)-re bonyolult nemlineáris összefüggést kapunk. Nem törődve egyelőre  $|G(u^*)|$   $t$ -től való függésével, fejezzük ki az (59) egyenletből  $t$ -t:

$$t = \frac{4(1-\cos \beta)}{\sin \beta} R - \frac{4(|G(u^*)|_{-R})}{\sin \beta}$$

A jobboldalon az első tagban felismerhetjük az A típusu körközelítést adó  $t$  vektort:  $t_A - t$  a (40) képlet szerint.

Jelen közelítésünk végpontokbeli érintővektora tehát az A eset hasonló vektorából egy korrekcióval nyerhető, amit a második tag fejez ki. Ennek számlálójában viszont jelen közelítésünk hibáját ismerhetjük fel. Irhatjuk tehát, hogy

$$(60) \quad t = t_A - \frac{4H_e(t)}{\sin \beta}$$

ahol  $H_e$  természetesen függ a maximumpont helyéről  $u^*$ -tól, illetve ezen keresztül magától  $t$ -től. Ha a maximumpont helye a  $t$  érintővektor illetve a kiinduló adatként tekintett  $\beta$  fél-középponti szög függvényében ismert,  $t_A$ -ból kiindulva a (60) ösz-

szefüggés ismételt alkalmazásával az érintővektorok egyre pontosabb értékéhez juthatunk a következő iterációs séma szerint:

$$(61) \quad \begin{aligned} u_i^* &= u_i^*(\beta, t_i) \\ t_{i+1} &= t_A - \frac{4H_{\epsilon_i}(u_i^*)}{\sin\beta} \end{aligned}$$

A maximumponthoz tartozó paraméterérték  $u^*$  meghatározásához a 3.1. fejezetben kidolgozott általános érvényű módszert használjuk.

A (38), (39), (50) egyenleteket figyelembe véve a  $g_x(u)$   $g_y(u)$  függvények, valamint deriváltjaik helyettesítési értékeit az  $u=0$  és  $u=\frac{1}{2}$  helyeken az alábbi táblázatban foglaltuk össze.

	x		y	
	$u=0$	$u=1/2$	$u=0$	$u=1/2$
$g$	$R\cos\beta$	$\frac{t}{4}\sin\beta + R\cos\beta$	$-R\sin\beta$	$0$
$\frac{\partial g}{\partial u}$	$t\sin\beta$	$0$	$t\cos\beta$	$3R\sin\beta - \frac{t}{2}\cos\beta$
$\frac{\partial^2 g}{\partial u^2}$	$-2t\sin\beta$	$-2t\sin\beta$	$6(2R\sin\beta - t\cos\beta)$	$0$

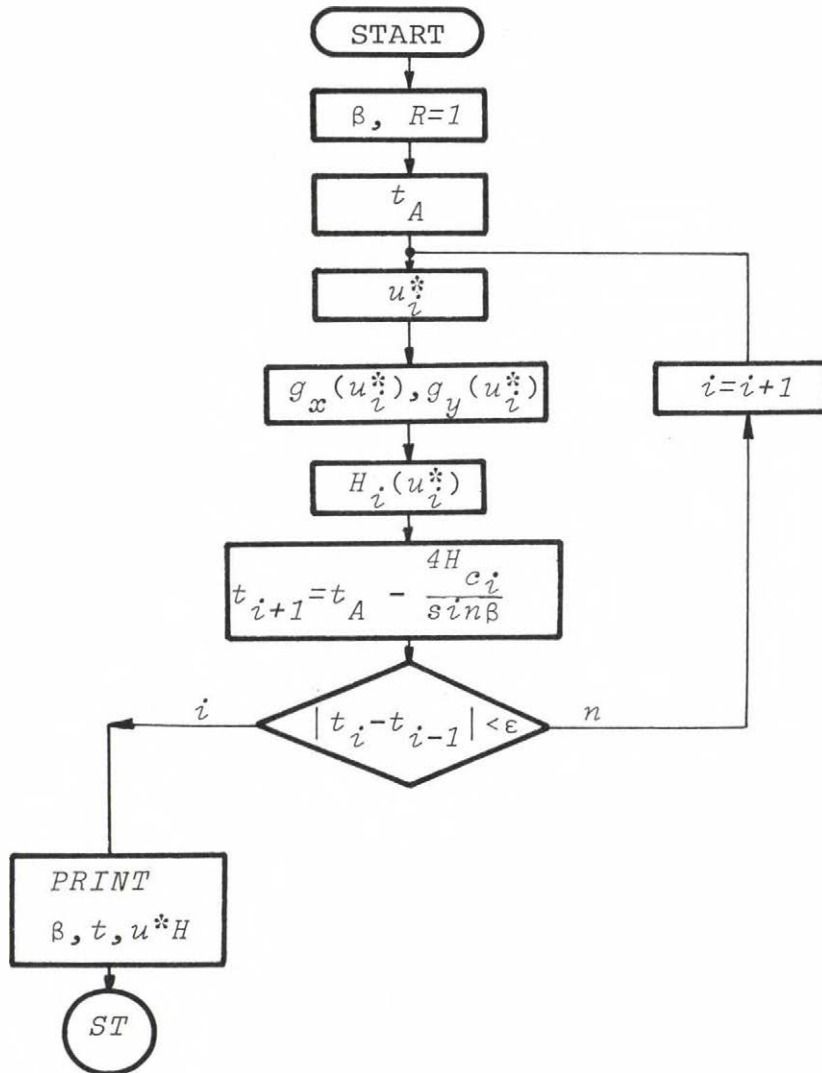
8. táblázat

A 3.1. fejezetben közölt módszer szerint tovább haladva, a (48) és (49) összefüggések felhasználásával megkapjuk most már az eltérések szélsőértékéhez tartozó paraméterértéket:

$$(62) \quad u^* = \frac{1}{2} - \frac{1}{2} \sqrt{\frac{\frac{t^2}{2} \cos^2\beta - t^2 \sin^2\beta - 5tR\sin 2\beta + 18R^2 \sin^2\beta}{\frac{t^2}{2} \cos^2\beta - t^2 \sin^2\beta + t^2 - 3tR\sin 2\beta + 6R^2 \sin^2\beta}}$$



Ez tehát a (61) iterációs sémában szereplő  $u^*(\beta, t)$  függvény konkrét alakja. Felhasználásával megszerkeszthetjük a (60) egyenlet iterációs megoldását. Az iteráció végrehajtására számítógépi programot írtunk, amelynek blokk-diagramját a 12. ábrán közöljük.



12. ábra



A számítások eredményeit a 9. táblázatban tüntettük fel. (ld. a 63. oldalon) Itt megtaláljuk a C típusú körközelítést definiáló végponti érintővektorok abszolút értékének, a maximális eltérés paraméterértékének, a maximális hibának és a  $H_c/H$  hányadosnak a numerikus értékeit a körív  $\theta=2\beta$  középponti szögének függvényében egység sugaru körre vonatkoztatva.

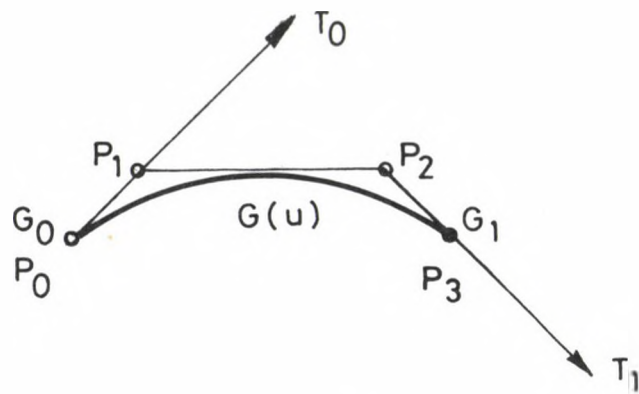
## 4. OPTIMÁLIS KÖRKÖZELÍTÉSEK BÉZIER, B-SPLINE, RP REPRESENTÁCIÓI

Az előző fejezetek körközelítésének (A,B,C típusu körközelítések) tárgyalásánál láttuk, hogy a közelítő harmadfoku görbeivet mindig a kezdő és végpontok helyzete, valamint e pontokban az érintővektorok iránya és nagysága határozza meg. Tekinthetjük azonban az optimálisan közelítő görbeivet harmadfoku Bézier, B-spline vagy RP görbének is, és meghatározhatjuk az ezen reprezentációknak megfelelő görbeadatokat, amelyek az optimális görbét állítják elő. Erre annál is inkább szükség van, mivel megvalósított rendszerekben gyakran használják a fenti reprezentációkat.

Tekintsük tehát a  $G_0, G_1$  végpontok és a  $T_0, T_1$  végpontokbeli érintők által egyértelműen meghatározott harmadfoku paraméteres görbeivet. Ezen geometriai adatokat a 3.1, 3.2. vagy 3.3. fejezetben közölt összefüggések szerint határozzuk meg a közelíteni kívánt körív adataiból  $(R, \theta)$ . Feladatunk az így definiált görbe különböző reprezentációinak meghatározása.

### 4.1. BÉZIER REPRESENTÁCIÓ

Egy görbe Bézier-representációját a megfelelő Bézier-poligon pontjaiból állíthatjuk elő. Ismeretes [1], hogy harmadfoku görbe esetén e poligon négy pontból áll  $(P_0, P_1, P_2, P_3$  a 13. ábrán) és a poligon első és utolsó pontja a görbe kezdő és végpontjával esik egybe.



13. ábra

A Bézier-görbe érintőit a következő összefüggések adják:

$$T_0 = 3(P_1 - P_0)$$

$$T_1 = 3(P_3 - P_2)$$

Mindezek figyelembevételével tehát a Bézier-poligon pontjai:

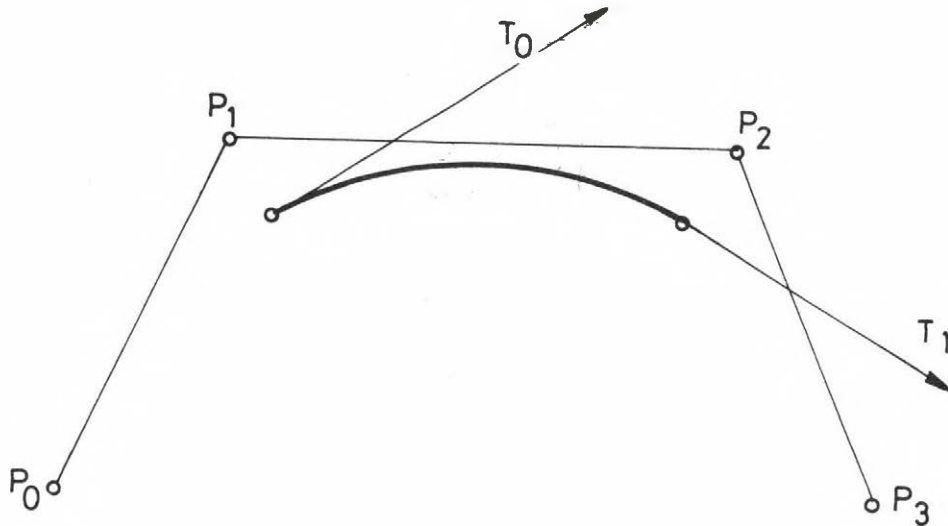
$$(63) \quad \begin{aligned} P_0 &= G_0 \\ P_1 &= G_0 + \frac{T_0}{3} \\ P_2 &= G_1 - \frac{T_1}{3} \\ P_3 &= G_1 \end{aligned}$$

és ezek felhasználásával a Bézier-görbe egyenlete:

$$G_B(u) = \sum_{i=0}^3 \binom{3}{i} u^i (1-u)^{3-i} P_i$$

## 4.2. B-SPLINE REPREZENTÁCIÓ

A B-spline görbe nem megy át a definiáló poligon-pontokon ( $P_0, P_1, P_2, P_3$  a 14. ábrán), de belül halad a pontok által kijelölt konvex pligonon.



14. ábra

Haramdfoku B-spline görbe esetén fennállnak a következő összefüggések [3]:

$$G_0 = \frac{P_0 + 4P_1 + P_2}{6}$$

$$T_0 = \frac{P_2 - P_0}{2}$$

$$G_1 = \frac{P_1 + 4P_2 + P_3}{6}$$

$$T_1 = \frac{P_3 - P_1}{2}$$

E négy összefüggés négy lineáris egyenletet jelent  $P_1, P_2, P_3, P_4$  meghatározására. Az egyenletrendszer megoldása a poligonpontokat szolgáltatja:

$$\begin{aligned}
 P_0 &= -G_0 + 2G_1 - \frac{7}{3} T_0 + \frac{2}{3} T_1 \\
 P_1 &= 2G_0 - G_1 + \frac{2}{3} T_0 - \frac{1}{3} T_1 \\
 P_2 &= -G_0 + 2G_1 - \frac{1}{3} T_0 - \frac{2}{3} T_1 \\
 P_3 &= 2G_0 - G_1 + \frac{2}{3} T_0 + \frac{7}{3} T_1
 \end{aligned}
 \tag{64}$$

Megjegyezzük, hogy a (64) kifejezések vizsgálatával bebizonyítható, hogy a  $P_1$  és  $P_2$  pontoknak közös szimmetria egyenesük van a  $P_0, P_3$  pontokkal, amely egyenes egyúttal a görbe szimmetriaegyenes is.

A poligonpontok ismeretében a spline görbe a következőképpen adódik [3]:

$$G_S(u) = \frac{1}{6} [u^3 \ u^2 \ u \ 1] \begin{bmatrix} -1 & 3 & -3 & 1 \\ 3 & -6 & 3 & 0 \\ -3 & 0 & 3 & 0 \\ 1 & 4 & 1 & 0 \end{bmatrix} \begin{bmatrix} P_0 \\ P_1 \\ P_2 \\ P_3 \end{bmatrix}$$

### 4.3. R-P REPRESENTÁCIÓ

Az 1.3. fejezetben ismertetett R-P módszer optimális közelítésre való alkalmazása esetén némiképp más helyzettel állunk szemben mint a Bézier- vagy B-spline módszer esetén. Itt ugyanis az érintővektorok abszolút értéke a végpontokban ( $T_0$  és  $T_1$ ) mindig egységnyi, és ez, e vektorok irányával valamint a végpontok helyzetével együtt, már egyértelműen meghatározza a görbe paraméterintervallumát a (30) összefüggés szerint. Ennek ismeretében már a teljes görbe is egyértelműen adó-

dik, ami természetesen az 1.3. fejezetben vizsgált görbe, az ott megadott kör-közelítési pontossággal. Ilyen értelemben tehát az optimális körközelítést adó görbék nem képezhetők le az R-P módszerrel.

Lehetőség van azonban az optimális körközelítő görbék R-P módszernek megfelelő adatokkal való előállítására. Ehhez az optimális görbék olyan paraméter-transzformációjára van szükség, amely a végpontokban egységnyi abszolút értékű érintővektorokat ad.

Az optimális körközelítő módszerek - A, B, C módszer, 3.1., 3.2., 3.3. fejezet - meghatároznak egy-egy  $t$  értéket a végpontokbeli érintővektor hosszára vonatkozóan, amellyel a görbe az  $u \in [0, 1]$  paraméterintervallum figyelembevételével egyértelműen adódik, és az  $u=0$ , és  $u=1$  pontokban:

$$\left| \frac{\partial G_{opt}}{\partial u} \right| = t.$$

Ha tehát most az  $u' = tu$  összefüggéssel új paramétert vezetünk be az optimális görbe R-P reprezentációjára:

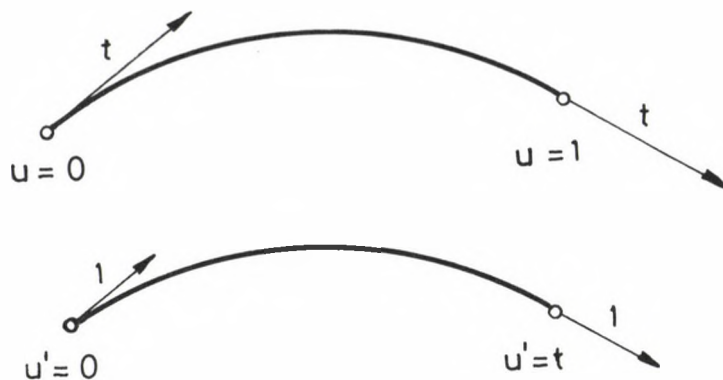
$G_{RP}(u') = G_{opt}(u = \frac{u'}{t})$ , az új paraméter szerinti deriváltra:

$$\frac{\partial G_{RP}}{\partial u'} = \frac{\partial G_{opt}}{\partial u} \cdot \frac{\partial u}{\partial u'}$$

Vagyis az RP görbe érintővektora a végpontokban:

$$\left| \frac{\partial G_{RP}}{\partial u'} \right| = t \cdot \frac{1}{t} = 1$$

azaz egységnyi lesz, a görbe paraméterintervalluma pedig  $u' \in [0, t]$  lesz. A görbe alakját az átparaméterezés természetesen nem érinti, így tehát az optimális körközelítő görbét az R-P görbék generálásához használt adatokkal állítottuk elő. Az átparaméterezést szemléletesen mutatja a 15. ábra.



$$u' = t u$$

15. ábra

## 5. KÖRKÖZELITŐ MÓDSZEREK ÖSSZEHALONLITÁSA

A különböző görbetervező módszereken alapuló körközelítéseket, valamint a különböző típusu optimális körközelítéseket a 61.-63. oldalon lévő táblázatok numerikus értékei alapján hasonlítjuk össze. A könnyebb áttekinthetőség kedvéért kiirtuk e táblázatokból a körközelítéseknél adódó maximális hiba néhány jellegzetes középponti szöghöz tartozó értékeit (10, 11, 12. táblázatok).

A tervezés szempontjából a legkézenfekvőbb és legegyszerűbb eset az, amikor a görbetervező módszer kiinduló adatai a körön fekvő pontok. A közelítő görbe hibáit erre az esetre vonatkozóan a 10. táblázat tartalmazza. Itt az összehasonlítás kedvéért a harmadfoku Bézier-görbére vonatkozó értékeket tüntettük fel, mivel a másik két módszer is harmadfoku görbével dolgozik.

$\theta [^\circ]$	Bézier	B-spline	R-P
10	$1,27 \cdot 10^{-3}$	$5,06 \cdot 10^{-3}$	$2,4 \cdot 10^{-6}$
20	$5,07 \cdot 10^{-3}$	0,0201	$3,87 \cdot 10^{-5}$
30	0,0113	0,0448	$1,95 \cdot 10^{-4}$
45	0,0254	0,0986	$9,9 \cdot 10^{-4}$
60	0,0448	0,1700	$3,13 \cdot 10^{-3}$
90	0,0987	0,3518	0,0158
120	0,1702	0,5625	0,0500
150	0,2555	0,7814	0,1216
180	0,3504	1,0000	0,2500

10. táblázat



A 10. táblázat alapján megállapíthatjuk, hogy a legjobb közelítést az RP módszer adja; kis szögeknél két nagyságrenddel kisebb, nagy szögeknél pedig azonos nagyságrendbe eső de kisebb hibát eredményez mint a Bézier módszer. Ezen felül a Bézier-görbe érintői a végpontokban nem esnek egybe a kör érintőivel, míg az érintők azonos iránya az RP görbénél fennáll. Meg kell azonban jegyeznünk, hogy Bézier-görbénél igen egyszerű lehetőség van a görbe fokszámának növelésére; mindössze a Bézier-pontok számát kell megfelelő módon növelni a kör kerületén szimmetrikusan elhelyezkedő további pontok hozzávételével. Ekkor a görbe pontossága nő, és a végpontok-beli érintő egyre jobban megközelíti a kör érintőjét. Az 1. táblázatból láthatjuk, hogy a 8-adfoku Bézier-görbe még mindenütt nagyobb eltéréseket ad mint az RP görbe, de pl. a 10-edfoku Bézier-görbe  $\theta > 120^\circ$  esetén már pontosabb mint az RP görbe.

A B-spline módszer adja jelen esetben a legkisebb pontosságot, továbbá a körnek és görbének nincs közös pontja, de a görbe végpontjaiban az érintők iránya megegyezik a körérintő irányával.

A körközelítések pontossága javítható a 2. fejezetben tárgyalt módon; az egyes görbetervező módszerek kiinduló adataként szolgáló pontokat nem a közelíteni kívánt körön, hanem azzal koncentrikus de eltérő sugaru körön helyezzük el. A megfelelő korrekciós sugarakat megtaláljuk a 2-4 táblázatokban, a közelítések maximális hibáit pedig a 11. táblázatban gyűjtöttük össze néhány jellegzetes  $\theta$  értékre.

Ha összehasonlítjuk a 10. és 11. táblázatok megfelelő oszlopait, láthatjuk, hogy a hiba mindegyik módszer esetében valóban csökken. A legnagyobb mértékű a csökkenés a B-spline módszer esetében, amely a sugárkorrekcióval  $\theta \approx 30^\circ$ -ig egyenértékű lesz az RP módszerrel, és ilyen kis szögekre mindkettő jobb mint a harmadfoku Bézier görbe. Növekvő középponti szögekre a B-spline módszer javulása egyre csökkenő mértékű, és  $\theta > 130^\circ$  esetén már a harmadfoku Bézier-görbe jobb mint az ugyan-csak harmadfoku B-spline görbe. Az RP- és a Bézier-görbe maxi-

$\theta_{[^\circ]}$	Bézier	B-spline	R-P
10	$6,30 \cdot 10^{-4}$	$1,22 \cdot 10^{-6}$	$1,20 \cdot 10^{-6}$
20	$2,54 \cdot 10^{-3}$	$1,99 \cdot 10^{-5}$	$1,93 \cdot 10^{-5}$
30	$5,72 \cdot 10^{-3}$	$1,04 \cdot 10^{-4}$	$9,79 \cdot 10^{-5}$
45	0,0129	$5,76 \cdot 10^{-4}$	$4,96 \cdot 10^{-4}$
60	0,0229	$2,03 \cdot 10^{-3}$	$1,57 \cdot 10^{-3}$
90	0,0520	0,0140	$7,98 \cdot 10^{-3}$
120	0,0930	0,0666	0,0256
150	0,1465	0,2672	0,0647
180	0,2124	1,0000	0,1428

11. táblázat

mális eltérése a körtől a sugárkorrekció hatására megközelítőleg a felére csökken.

A sugárkorrekció alkalmazása tehát mindhárom módszer esetében csökkenti a körközelítés hibáját, hátrányos tulajdonsága viszont az, hogy a közelítő görbe és a kör kezdő és végpontjai nem esnek egybe.

Legbonyolultabb a 3. fejezetben tárgyalt optimális körközelítések alkalmazása, viszont a legnagyobb körközelítési pontosságot is ezek a módszerek adják. A 12. táblázatban összefoglaltuk a 3. fejezetben tárgyalt A,B és C típusu körközelítések néhány jellegzetes  $\theta$  értékhez tartozó hibáit.

$\theta [^\circ]$	A	B	C
10	$5 \cdot 10^{-10}$	$3 \cdot 10^{-10}$	$4 \cdot 10^{-10}$
20	$3,27 \cdot 10^{-8}$	$1,63 \cdot 10^{-8}$	$2,33 \cdot 10^{-8}$
30	$3,73 \cdot 10^{-7}$	$1,86 \cdot 10^{-7}$	$2,66 \cdot 10^{-7}$
45	$4,24 \cdot 10^{-6}$	$2,12 \cdot 10^{-6}$	$3,03 \cdot 10^{-6}$
60	$2,39 \cdot 10^{-5}$	$1,19 \cdot 10^{-5}$	$1,70 \cdot 10^{-5}$
90	$2,73 \cdot 10^{-4}$	$1,36 \cdot 10^{-4}$	$1,95 \cdot 10^{-4}$
120	$1,54 \cdot 10^{-3}$	$7,70 \cdot 10^{-4}$	$1,11 \cdot 10^{-3}$
150	$5,97 \cdot 10^{-3}$	$2,98 \cdot 10^{-3}$	$4,3 \cdot 10^{-3}$
180	0,0183	0,0090	0,0131

12. táblázat

A táblázat bármely oszlopát alapul véve megállapíthatjuk, hogy az optimális harmadfoku körközelítő görbék nagyságrendekkel jobb közelítést adnak, mint a 10. táblázat alapjául szolgáló egyszerű, vagy a 11. táblázat alapjául szolgáló sugárkorrekciós görbék. Az optimális módszereken belül az A módszert a leg-egyszerűbb alkalmazni és olyan görbét ad, amelynek három közös pontja van a körrel, és ott az érintők is azonos irányúak a kör érintőjével. A közös pontok jellegzetes pontok: kezdőpont, végpont és a felezőpont. A legpontosabb körközelítést a B módszer nyújtja, amely az A módszer sugárkorrekciós változata. Itt bár négy közös pont van a körrel, de ezek nem jellegzetes pontok, és e pontokban a görbe és a kör érintőjének iránya különbözik egymástól.

A C módszerrel előállított görbe pontossága jobb mint az A módszeré és megtartja annak előnyös tulajdonságait. A C görbének négy közös pontja van a körrel és ezek közül kettő jel-

legzetes pont; a kezdő és a végpont. Ez utóbbiakban a görbe érintője is azonos irányu a körérintővel. Bár a C módszer alkalmazása valamivel nagyobb hibát okoz a körközelítésben mint a B módszer, de a felsorolt geometriai tulajdonságok miatt használata előnyösebb a görbetervezésben (pl. folytonos csatlakozások biztosítása). Másrészt az elérhető pontosság önmagában véve is olyan nagy, hogy messze kielégíti a szokásos műszaki-esztétikai követelményeket.

A 12. táblázatból láthatóan az optimális körközelítő görbékkel igen nagy pontosságot lehet elérni. E görbék alakját meghatározó elsődleges adatok (a görbék végpontjai és az érintővektorok iránya és nagysága e pontokban) azonban nem illeszkednek a szokásos görbetervező módszerek által megkövetelt adatokhoz. Szükség van tehát egy transzformációra, amely ezen optimális görbéket meghatározó geometriai adatokat leképezi a görbetervező módszerek kiindulási adataira, és ily módon lehetővé teszi az optimális görbék közvetlen előállítását a már használatban levő görbetervező rendszerekben. Ezeket a transzformációkat tartalmazza a 4. fejezet, amelyben megmutattuk, hogy elő lehet állítani az optimális körközelítő görbéket. Bézier, B-spline ill. RP görbeként is. A görbét definiáló pontok azonban most már nem köríven helyezkednek el.

IRODALOMJEGYZÉK

- [1] Bézier, P.: Numerical Control, Mathematics and Applications, John Wiley and Sons, (1972)
- [2] Riesenfeld, R: Applications of B-spline Approximation to Geometric Problems of Computer-Aided Design, Dissertation, University of Utah, (1973)
- [3] Coons, S.A.: Surface Patches and B-spline Curves in Computer Aided Geometric Design, ed. by R.E. Barnhill, R.F. Riesenfeld, Academic Press, (1974)
- [4] Renner, G; Pochop, V.: A New Method for Local Smooth Interpolation, Proc. of EUROGRAPHICS'81, ed. by J. Encarnacao, North-Holland Publ. Comp. (1981)
- [5] Renner, G.: A Method of Shape Description for Mechanical Engineering Practice, Computers in Industry, 3, (1982) pp. 137-142.
- [6] Peters, G.J., Interactive Graphics Application of the Parametric Bi-cubic Surface to Engineering Design Problems, in Computer Aided Geometric Design, ed. by R.E. Barnhill, R.F. Riesenfeld, Academic Press, (1974) pp 259-302.



T Á B L Á Z A T O K





BÍZIER-MÓDSZER

Θ	H									
	n=1	n=2	n=3	n=4	n=5	n=6	n=7	n=8	n=9	n=10
5	0.00035	0.00348	0.00032	0.00024	0.00019	0.00016	0.00014	0.00012	0.00011	0.00010
10	0.00381	0.00120	0.00127	0.00035	0.00076	0.00063	0.00054	0.00048	0.00042	0.00038
15	0.00856	0.00428	0.00235	0.00214	0.00171	0.00143	0.00122	0.00107	0.00095	0.00086
20	0.01519	0.00760	0.00507	0.00380	0.00304	0.00254	0.00217	0.00190	0.00169	0.00152
25	0.02370	0.01185	0.00791	0.00593	0.00475	0.00396	0.00339	0.00297	0.00264	0.00238
30	0.03407	0.01704	0.01137	0.00854	0.00683	0.00570	0.00488	0.00428	0.00380	0.00342
35	0.04628	0.02314	0.01545	0.01160	0.00929	0.00775	0.00664	0.00582	0.00517	0.00465
40	0.06031	0.03015	0.02015	0.01513	0.01212	0.01011	0.00867	0.00759	0.00675	0.00608
45	0.07612	0.03806	0.02545	0.01912	0.01532	0.01278	0.01096	0.00960	0.00853	0.00766
50	0.09369	0.04685	0.03134	0.02356	0.01889	0.01575	0.01352	0.01183	0.01053	0.00948
55	0.11299	0.05649	0.03783	0.02845	0.02281	0.01903	0.01633	0.01430	0.01272	0.01146
60	0.13397	0.06699	0.04489	0.03378	0.02709	0.02262	0.01941	0.01700	0.01512	0.01362
65	0.15661	0.07830	0.05252	0.03955	0.03173	0.02650	0.02274	0.01993	0.01773	0.01597
70	0.18085	0.09042	0.06071	0.04575	0.03672	0.03067	0.02633	0.02307	0.02053	0.01850
75	0.20665	0.10332	0.06944	0.05237	0.04205	0.03514	0.03018	0.02645	0.02354	0.02121
80	0.23396	0.11698	0.07871	0.05940	0.04772	0.03989	0.03427	0.03004	0.02674	0.02409
85	0.26272	0.13136	0.08849	0.06684	0.05373	0.04493	0.03861	0.03385	0.03014	0.02716
90	0.29289	0.14645	0.09878	0.07467	0.06006	0.05025	0.04319	0.03788	0.03373	0.03040
95	0.32441	0.16220	0.10956	0.08290	0.06672	0.05584	0.04802	0.04212	0.03752	0.03382
100	0.35721	0.17861	0.12081	0.09150	0.07369	0.06170	0.05308	0.04657	0.04149	0.03741
105	0.39124	0.19562	0.13252	0.10047	0.08097	0.06783	0.05837	0.05123	0.04565	0.04117
110	0.42642	0.21321	0.14467	0.10980	0.08855	0.07422	0.06389	0.05610	0.05000	0.04510
115	0.46270	0.23135	0.15725	0.11947	0.09643	0.08087	0.06964	0.06116	0.05453	0.04919
120	0.50000	0.25000	0.17023	0.12949	0.10459	0.08776	0.07561	0.06643	0.05923	0.05345
125	0.53825	0.26913	0.18360	0.13983	0.11303	0.09490	0.08180	0.07189	0.06412	0.05787
130	0.57738	0.28869	0.19733	0.15048	0.12175	0.10228	0.08820	0.07754	0.06916	0.06245
135	0.61732	0.30866	0.21142	0.16143	0.13072	0.10989	0.09481	0.08338	0.07441	0.06719
140	0.65798	0.32899	0.22583	0.17267	0.13996	0.11773	0.10152	0.08940	0.07981	0.07209
145	0.69929	0.34965	0.24055	0.18419	0.14943	0.12579	0.10863	0.09561	0.08538	0.07713
150	0.74118	0.37059	0.25556	0.19597	0.15915	0.13406	0.11583	0.10199	0.09111	0.08233
155	0.78356	0.39178	0.27084	0.20800	0.16909	0.14254	0.12323	0.10654	0.09700	0.08768
160	0.82635	0.41318	0.28636	0.22027	0.17926	0.15122	0.13080	0.11527	0.10304	0.09317
165	0.86947	0.43474	0.30211	0.23276	0.18963	0.16009	0.13856	0.12216	0.10924	0.09880
170	0.91284	0.45642	0.31806	0.24547	0.20020	0.16915	0.14649	0.12921	0.11558	0.10457
175	0.95638	0.47819	0.33419	0.25837	0.21096	0.17839	0.15458	0.13641	0.12208	0.11047
180	1.00000	0.50000	0.35048	0.27145	0.22131	0.18780	0.16284	0.14377	0.12871	0.11651

1. táblázat

BÉZIER-MÓDSZER KORRIGÁLT SUGÁRRAL

$\theta$	$n=1$			$n=2$			$n=3$		
	$r_o$	$H_o$	$H_o/H$	$r_o$	$H_o$	$H_o/H$	$r_o$	$H_o$	$H_o/H$
5	1.00048	0.00048	0.50024	1.00024	0.00024	0.50012	1.00016	0.00016	0.50008
10	1.00191	0.00191	0.50095	1.00095	0.00095	0.50048	1.00063	0.00063	0.50032
15	1.00430	0.00430	0.50215	1.00214	0.00214	0.50107	1.00143	0.00143	0.50071
20	1.00765	0.00765	0.50383	1.00391	0.00381	0.50191	1.00254	0.00254	0.50127
25	1.01193	0.01199	0.50600	1.00595	0.00596	0.50298	1.00397	0.00397	0.50198
30	1.01733	0.01733	0.50867	1.00859	0.00859	0.50430	1.00572	0.00572	0.50286
35	1.02369	0.02369	0.51184	1.01171	0.01171	0.50585	1.00779	0.00779	0.50389
40	1.03109	0.03103	0.51555	1.01531	0.01531	0.50765	1.01018	0.01018	0.50509
45	1.03957	0.03957	0.51973	1.01940	0.01940	0.50970	1.01289	0.01289	0.50644
50	1.04915	0.04915	0.52457	1.02399	0.02399	0.51199	1.01592	0.01592	0.50796
55	1.05988	0.05988	0.52994	1.02907	0.02907	0.51453	1.01928	0.01928	0.50964
60	1.07180	0.07180	0.53590	1.03465	0.03465	0.51733	1.02296	0.02296	0.51148
65	1.08496	0.08496	0.54243	1.04075	0.04075	0.52037	1.02697	0.02697	0.51348
70	1.09941	0.09941	0.54971	1.04735	0.04735	0.52368	1.03130	0.03130	0.51565
75	1.11523	0.11523	0.55761	1.05448	0.05448	0.52724	1.03597	0.03597	0.51798
80	1.13247	0.13247	0.56624	1.06212	0.06212	0.53106	1.04096	0.04096	0.52048
85	1.15123	0.15123	0.57561	1.07030	0.07030	0.53515	1.04629	0.04629	0.52315
90	1.17157	0.17157	0.58573	1.07901	0.07901	0.53950	1.05196	0.05196	0.52598
95	1.19361	0.19361	0.59680	1.08826	0.08826	0.54413	1.05795	0.05795	0.52898
100	1.21744	0.21744	0.60872	1.09806	0.09806	0.54903	1.06429	0.06429	0.53214
105	1.24319	0.24319	0.62160	1.10841	0.10841	0.55421	1.07096	0.07096	0.53548
110	1.27099	0.27099	0.63550	1.11933	0.11933	0.55966	1.07798	0.07798	0.53899
115	1.30098	0.30098	0.65049	1.13081	0.13081	0.56540	1.08533	0.08533	0.54267
120	1.33333	0.33333	0.66667	1.14286	0.14286	0.57143	1.09303	0.09303	0.54652
125	1.36822	0.36822	0.68411	1.15549	0.15549	0.57774	1.10108	0.10108	0.55054
130	1.40586	0.40586	0.70293	1.16870	0.16870	0.58435	1.10947	0.10947	0.55473
135	1.44646	0.44646	0.72323	1.18249	0.18249	0.59125	1.11821	0.11821	0.55910
140	1.49029	0.49029	0.74515	1.19689	0.19689	0.59844	1.12729	0.12729	0.56364
145	1.53763	0.53763	0.76881	1.21186	0.21186	0.60593	1.13672	0.13672	0.56836
150	1.58879	0.58879	0.79440	1.22744	0.22744	0.61372	1.14650	0.14650	0.57325
155	1.64414	0.64414	0.82207	1.24361	0.24361	0.62191	1.15663	0.15663	0.57832
160	1.70409	0.70409	0.85204	1.26038	0.26038	0.63049	1.16711	0.16711	0.58355
165	1.76939	0.76939	0.88454	1.27774	0.27774	0.63887	1.17793	0.17793	0.58897
170	1.83966	0.83966	0.91983	1.29569	0.29569	0.64785	1.18910	0.18910	0.59455
175	1.91641	0.91641	0.95820	1.31422	0.31422	0.65711	1.20062	0.20062	0.60031
180	2.00000	1.00000	1.00000	1.33333	0.33333	0.66667	1.21247	0.21247	0.60624

2. táblázat

BÉZIER-MÓDSZER KORRIGÁLT SUGÁRRAL

$\theta$	$n=4$			$n=5$			$n=6$		
	$r_0$	$H_0$	$H_0/H$	$r_0$	$H_0$	$H_0/H$	$r_0$	$H_0$	$H_0/H$
5	1.00012	1.00012	0.50005	1.00010	0.00010	0.50005	1.00008	0.00008	0.50004
10	1.00043	1.00043	0.50024	1.00033	0.00033	0.50019	1.00032	0.00032	0.50016
15	1.00107	1.00107	0.50054	1.00085	0.00086	0.50043	1.00071	0.00071	0.50036
20	1.00190	0.00190	0.50095	1.00152	0.00152	0.50076	1.00127	0.00127	0.50063
25	1.00293	0.00293	0.50143	1.00233	0.00233	0.50119	1.00198	0.00198	0.50099
30	1.00423	0.00423	0.50214	1.00343	0.00343	0.50171	1.00286	0.00286	0.50143
35	1.00584	0.00584	0.50292	1.00467	0.00467	0.50233	1.00389	0.00389	0.50194
40	1.00762	0.00762	0.50381	1.00610	0.00610	0.50305	1.00508	0.00508	0.50254
45	1.00965	0.00965	0.50483	1.00772	0.00772	0.50386	1.00643	0.00643	0.50322
50	1.01192	0.01192	0.50596	1.00953	0.00953	0.50477	1.00794	0.00794	0.50397
55	1.01443	0.01443	0.50722	1.01154	0.01154	0.50577	1.00961	0.00961	0.50480
60	1.01718	0.01718	0.50859	1.01373	0.01373	0.50687	1.01144	0.01144	0.50572
65	1.02017	0.02017	0.51009	1.01612	0.01612	0.50806	1.01343	0.01343	0.50671
70	1.02341	0.02341	0.51171	1.01870	0.01870	0.50935	1.01557	0.01557	0.50779
75	1.02689	0.02689	0.51344	1.02148	0.02148	0.51074	1.01788	0.01788	0.50894
80	1.03061	0.03061	0.51530	1.02444	0.02444	0.51222	1.02035	0.02035	0.51018
85	1.03457	0.03457	0.51729	1.02751	0.02761	0.51380	1.02298	0.02298	0.51149
90	1.03878	0.03878	0.51939	1.03096	0.03096	0.51548	1.02577	0.02577	0.51289
95	1.04324	0.04324	0.52162	1.03451	0.03451	0.51725	1.02872	0.02872	0.51436
100	1.04794	0.04794	0.52397	1.03825	0.03825	0.51913	1.03183	0.03183	0.51592
105	1.05289	0.05289	0.52645	1.04219	0.04219	0.52110	1.03511	0.03511	0.51755
110	1.05809	0.05809	0.52904	1.04633	0.04633	0.52316	1.03854	0.03854	0.51927
115	1.06353	0.06353	0.53177	1.05066	0.05066	0.52533	1.04214	0.04214	0.52107
120	1.06923	0.06923	0.53461	1.05518	0.05518	0.52759	1.04589	0.04589	0.52295
125	1.07517	0.07517	0.53752	1.05990	0.05990	0.52995	1.04981	0.04981	0.52491
130	1.08136	0.08136	0.54068	1.06482	0.06482	0.53241	1.05390	0.05390	0.52695
135	1.08780	0.08780	0.54399	1.06993	0.06993	0.53497	1.05814	0.05814	0.52907
140	1.09449	0.09449	0.54725	1.07524	0.07524	0.53762	1.06255	0.06255	0.53127
145	1.10144	0.10144	0.55072	1.08075	0.08075	0.54033	1.06711	0.06711	0.53356
150	1.10863	0.10863	0.55431	1.08645	0.08645	0.54323	1.07184	0.07184	0.53592
155	1.11607	0.11607	0.55804	1.09235	0.09235	0.54618	1.07674	0.07674	0.53837
160	1.12377	0.12377	0.56183	1.09845	0.09845	0.54923	1.08179	0.08179	0.54090
165	1.13171	0.13171	0.56586	1.10474	0.10474	0.55237	1.08701	0.08701	0.54350
170	1.13990	0.13990	0.56995	1.11123	0.11123	0.55552	1.09239	0.09239	0.54619
175	1.14835	0.14835	0.57417	1.11792	0.11792	0.55896	1.09793	0.09793	0.54896
180	1.15704	0.15704	0.57852	1.12480	0.12480	0.56240	1.10363	0.10363	0.55182

2. táblázat 1. folytatása

BÉZIER-MÓDSZER KORRIGÁLT SUGÁRRAL

$\theta$	$n=7$			$n=8$			$n=9$		
	$r_0$	$H_0$	$H_0/H$	$r_0$	$H_0$	$H_0/H$	$r_0$	$H_0$	$H_0/H$
5	1.00007	0.00007	0.50003	1.00016	0.00016	0.50003	1.00005	0.00005	0.50003
10	1.00027	0.00027	0.50014	1.00024	0.00024	0.50012	1.00021	0.00021	0.50011
15	1.00061	0.00061	0.50031	1.00054	0.00054	0.50027	1.00048	0.00048	0.50024
20	1.00113	0.00109	0.50054	1.00095	0.00095	0.50048	1.00085	0.00085	0.50042
25	1.00170	0.00170	0.50085	1.00149	0.00149	0.50074	1.00132	0.00132	0.50066
30	1.00245	0.00245	0.50122	1.00214	0.00214	0.50107	1.00190	0.00190	0.50095
35	1.00333	0.00333	0.50167	1.00292	0.00292	0.50146	1.00259	0.00259	0.50130
40	1.00435	0.00435	0.50219	1.00381	0.00381	0.50190	1.00339	0.00339	0.50159
45	1.00551	0.00551	0.50276	1.00482	0.00482	0.50241	1.00429	0.00429	0.50214
50	1.00680	0.00680	0.50340	1.00595	0.00595	0.50298	1.00529	0.00529	0.50265
55	1.00823	0.00823	0.50412	1.00720	0.00720	0.50360	1.00640	0.00640	0.50320
60	1.00980	0.00980	0.50490	1.00857	0.00857	0.50429	1.00762	0.00762	0.50381
65	1.01150	0.01150	0.50575	1.01016	0.01016	0.50503	1.00894	0.00894	0.50447
70	1.01334	0.01334	0.50667	1.01167	0.01167	0.50584	1.01037	0.01037	0.50519
75	1.01532	0.01532	0.50765	1.01340	0.01340	0.50670	1.01191	0.01191	0.50595
80	1.01743	0.01743	0.50872	1.01525	0.01525	0.50762	1.01355	0.01355	0.50678
85	1.01968	0.01968	0.50984	1.01722	0.01722	0.50861	1.01530	0.01530	0.50765
90	1.02207	0.02207	0.51104	1.01931	0.01931	0.50965	1.01715	0.01715	0.50858
95	1.02460	0.02460	0.51230	1.02151	0.02151	0.51076	1.01912	0.01912	0.50956
100	1.02726	0.02726	0.51363	1.02384	0.02384	0.51192	1.02118	0.02118	0.51059
105	1.03006	0.03006	0.51503	1.02629	0.02629	0.51314	1.02336	0.02336	0.51168
110	1.03300	0.03300	0.51650	1.02886	0.02886	0.51443	1.02564	0.02564	0.51282
115	1.03608	0.03608	0.51804	1.03155	0.03155	0.51577	1.02803	0.02803	0.51401
120	1.03929	0.03929	0.51965	1.03435	0.03435	0.51718	1.03052	0.03052	0.51526
125	1.04264	0.04264	0.52132	1.03728	0.03728	0.51864	1.03312	0.03312	0.51656
130	1.04613	0.04613	0.52307	1.04033	0.04033	0.52017	1.03583	0.03583	0.51791
135	1.04976	0.04976	0.52488	1.04350	0.04350	0.52175	1.03864	0.03864	0.51932
140	1.05353	0.05353	0.52675	1.04679	0.04679	0.52340	1.04157	0.04157	0.52078
145	1.05743	0.05743	0.52872	1.05020	0.05020	0.52510	1.04459	0.04459	0.52230
150	1.06148	0.06148	0.53074	1.05373	0.05373	0.52687	1.04773	0.04773	0.52386
155	1.06566	0.06566	0.53283	1.05739	0.05739	0.52869	1.05097	0.05097	0.52549
160	1.06998	0.06998	0.53499	1.06116	0.06116	0.53058	1.05432	0.05432	0.52716
165	1.07444	0.07444	0.53722	1.06505	0.06505	0.53253	1.05777	0.05777	0.52889
170	1.07903	0.07903	0.53952	1.06906	0.06906	0.53453	1.06134	0.06134	0.53067
175	1.08377	0.08377	0.54188	1.07320	0.07320	0.53660	1.06501	0.06501	0.53250
180	1.08864	0.08864	0.54432	1.07745	0.07745	0.53873	1.06878	0.06878	0.53439

2. táblázat 2. folytatása



B-SPLINE MÓDSZER

$\theta$	$H$	$r_0$	$H_0$	$H_0/H$
5	0.00126859	1.00127012	0.00000008	0.00005964
10	0.00506650	1.00509108	0.00000122	0.00024029
15	0.01137036	1.01149484	0.00000622	0.00054722
20	0.02014151	1.02053519	0.00001993	0.00098934
25	0.03132660	1.03228862	0.00004948	0.00157952
30	0.04485830	1.04685542	0.00010474	0.00233488
35	0.06065620	1.06436132	0.00019879	0.00327737
40	0.07862790	1.08495942	0.00034866	0.00443433
45	0.09867030	1.10833269	0.00057617	0.00583932
50	0.12067091	1.13619689	0.00090902	0.00753307
55	0.14450936	1.16730419	0.00138219	0.00956470
60	0.17005899	1.20244745	0.00203954	0.01199316
65	0.19718846	1.24196523	0.00293593	0.01488895
70	0.22576342	1.28624811	0.00413966	0.01833628
75	0.25564819	1.33574525	0.00573561	0.02243554
80	0.28670741	1.39097343	0.00782896	0.02730643
85	0.31880761	1.45252674	0.01054984	0.03309156
90	0.35181878	1.52108859	0.01405900	0.03996092
95	0.38561577	1.59744539	0.01895475	0.04811719
100	0.42007960	1.68250416	0.02428151	0.05780217
105	0.45509861	1.77731166	0.03154041	0.06930455
110	0.49056949	1.88307877	0.04070222	0.08295933
115	0.52639808	2.00120906	0.05222354	0.09920922
120	0.56250000	2.13333333	0.06666667	0.11851852
125	0.59880111	2.28135128	0.08472441	0.14149006
130	0.63523774	2.44743196	0.10725095	0.16833592
135	0.67175669	2.63432517	0.13530039	0.20141278
140	0.70831509	2.84493632	0.17017500	0.24025324
145	0.74483300	3.08291822	0.21348589	0.28660441
150	0.78142786	3.35253402	0.26722947	0.34197587
155	0.81794376	3.65884685	0.33388411	0.40819934
160	0.85442050	4.00789316	0.41653290	0.48750340
165	0.89085754	4.40639913	0.51902019	0.58260740
170	0.92725987	4.86455209	0.64615186	0.69634010
175	0.96363668	5.39134288	0.81395286	0.83429043
180	1.00000000	5.99999997	0.99999999	0.99999999

3. táblázat

RP-MÓDSZER

$\theta$	$H$	$r_o$	$H_o$	$H_o/H$
5	0.00000015	1.00000008	0.00000008	0.50000004
10	0.00000242	1.00000121	0.00000121	0.50000060
15	0.00001223	1.00000612	0.00000612	0.50000306
20	0.00003856	1.00001933	0.00001933	0.50000967
25	0.00009439	1.00004720	0.00004720	0.50002360
30	0.00019573	1.00009788	0.00009788	0.50004894
35	0.00035261	1.00018134	0.00018134	0.50009067
40	0.00061860	1.00030943	0.00030943	0.50015479
45	0.00099086	1.00049568	0.00049568	0.50024784
50	0.00151020	1.00075567	0.00075567	0.50037784
55	0.00221103	1.00110674	0.00110674	0.50055337
60	0.00313137	1.00156814	0.00156814	0.50078407
65	0.00431285	1.00215100	0.00215100	0.50109054
70	0.00580068	1.00296378	0.00296378	0.50145439
75	0.00764365	1.00383649	0.00383649	0.50181324
80	0.009933413	1.00497166	0.00497166	0.502248583
85	0.01280300	1.00634333	0.00634333	0.502717200
90	0.01584467	1.00798560	0.00798560	0.50324280
95	0.01966701	1.00993116	0.00993116	0.503849558
100	0.02424131	1.01221813	0.01221813	0.504519907
105	0.029333722	1.01483698	0.01483698	0.505244349
110	0.03532770	1.01798147	0.01798147	0.506033074
115	0.04213388	1.02154500	0.02154900	0.51077450
120	0.05001000	1.02564103	0.02564103	0.51282051
125	0.05834325	1.03031349	0.03031349	0.51515675
130	0.06830359	1.03562744	0.03562744	0.51781372
135	0.079935961	1.04164963	0.04164963	0.52182432
140	0.09242822	1.04845334	0.04845334	0.52722667
145	0.10627443	1.05611923	0.05611923	0.53405962
150	0.12160038	1.06473659	0.06473659	0.53236825
155	0.13850296	1.07440407	0.07440407	0.53720203
160	0.15707632	1.08523214	0.08523214	0.54261607
165	0.17741737	1.09734394	0.09734394	0.54867197
170	0.19962205	1.11087786	0.11087786	0.55543893
175	0.22373528	1.12598999	0.12598999	0.56293500
180	0.25000000	1.14285714	0.14285714	0.57142857

4. táblázat

A TÍPUSU KÖRKÖZELITÉS

$\theta$	$t$	$u^*$	$H$
5	0.097289	0.210735	0.0000000000
10	0.174644	0.210779	0.0000000005
15	0.262174	0.211310	0.0000000058
20	0.349955	0.211331	0.0000000327
25	0.438071	0.211326	0.0000001248
30	0.526610	0.211325	0.0000003726
35	0.615659	0.211325	0.0000009397
40	0.705303	0.211325	0.0000020940
45	0.795649	0.211325	0.0000042455
50	0.886779	0.211325	0.0000073896
55	0.978794	0.211325	0.0000141560
60	1.071797	0.211325	0.0000238644
65	1.165894	0.211325	0.0000358557
70	1.261195	0.211325	0.0000602095
75	1.357817	0.211325	0.0001091183
80	1.455881	0.211325	0.0001842689
85	1.555515	0.211325	0.0003193280
90	1.656854	0.211325	0.0005272530
95	1.760042	0.211325	0.0008372579
100	1.865231	0.211325	0.0012513680
105	1.972582	0.211325	0.0017689112
110	2.082263	0.211325	0.0023912103
115	2.194475	0.211325	0.0031132582
120	2.309401	0.211325	0.0039420209
125	2.427260	0.211325	0.0048736069
130	2.548281	0.211325	0.0059124415
135	2.672715	0.211325	0.0070547537
140	2.800830	0.211325	0.0083023141
145	2.932921	0.211325	0.0096568374
150	3.069308	0.211325	0.0111170139
155	3.210333	0.211325	0.0126871190
160	3.356399	0.211325	0.0143664283
165	3.507906	0.211325	0.0161539616
170	3.665325	0.211325	0.0180474130
175	3.829167	0.211325	0.0200503674
180	4.000000	0.211325	0.0221635154

6. táblázat



B TIPUSU KÖRKÖZELITÉS

$\theta$	$r_o$	$H_o$	$H_o/H$
5	1.1100000	0.300000000	0.500000
10	1.0000000	0.000000003	0.500000
15	1.0000000	0.000000029	0.500000
20	1.0000000	0.000000163	0.500000
25	0.9999999	0.000000624	0.500000
30	0.9999998	0.0000001863	0.500000
35	0.9999995	0.0000004699	0.500000
40	0.9999990	0.0000010470	0.499999
45	0.9999979	0.0000021228	0.499999
50	0.9999960	0.0000039948	0.499998
55	0.9999929	0.0000070779	0.499996
60	0.9999881	0.0000119321	0.499994
65	0.9999807	0.0000192925	0.499990
70	0.9999699	0.0000301039	0.499985
75	0.9999544	0.0000455571	0.499977
80	0.9999329	0.0000671239	0.499966
85	0.9999034	0.0000966308	0.499952
90	0.9998638	0.0001362464	0.499932
95	0.9998114	0.0001885934	0.499906
100	0.9997432	0.0002567741	0.499872
105	0.9996556	0.0003444374	0.499828
110	0.9995442	0.0004558437	0.499772
115	0.9994041	0.0005953359	0.499702
120	0.9992296	0.0007704165	0.499615
125	0.9990142	0.0009858306	0.499507
130	0.9987503	0.0012496571	0.499375
135	0.9984236	0.0015704068	0.499215
140	0.9980423	0.0019577303	0.499021
145	0.9975775	0.0024225358	0.498789
150	0.9970229	0.0029771173	0.498511
155	0.9963647	0.0036352959	0.498182
160	0.9955874	0.0044125748	0.497794
165	0.9946737	0.0053283093	0.497337
170	0.9936041	0.0063958945	0.496802
175	0.9923570	0.0076429724	0.496179
180	0.9909083	0.0090915604	0.495454

7. táblázat

C TIPUSU KÖRKÖZELITÉS

$\theta$	$t$	$u^*$	$H_c$	$H_c/H$
5	0.0872803	-0.0432450	0.000000000	0.723002
10	0.1746438	0.1797485	0.000000004	0.722222
15	0.2621737	0.1823870	0.000000042	0.710000
20	0.3499541	0.1820956	0.000000233	0.719501
25	0.4380636	0.1820531	0.000000891	0.719851
30	0.5266058	0.1820546	0.000002660	0.719775
35	0.6156499	0.1820562	0.000006711	0.719936
40	0.7052903	0.1820581	0.000014959	0.720153
45	0.7956175	0.1820593	0.000030342	0.720398
50	0.8867242	0.1820606	0.000057124	0.720675
55	0.9787054	0.1820622	0.000101262	0.720968
60	1.0716591	0.1820639	0.000170796	0.721281
65	1.1656864	0.1820658	0.000276302	0.721607
70	1.2608920	0.1820678	0.000431383	0.721947
75	1.3573846	0.1820699	0.000653205	0.722297
80	1.4552771	0.1820723	0.000963096	0.722653
85	1.5546875	0.1820743	0.001387181	0.723012
90	1.6557391	0.1820777	0.001957083	0.723369
95	1.7585608	0.1820809	0.002710682	0.723720
100	1.8632885	0.1820845	0.003692926	0.724061
105	1.9700649	0.1820885	0.004956720	0.724387
110	2.0790405	0.1820932	0.006563878	0.724692
115	2.1903746	0.1820986	0.008586157	0.724972
120	2.3042359	0.1821049	0.011106375	0.725219
125	2.4208032	0.1821123	0.014219618	0.725429
130	2.5402672	0.1821203	0.018034559	0.725594
135	2.6628306	0.1821310	0.022674880	0.725707
140	2.7887102	0.1821428	0.028280831	0.725761
145	2.9181377	0.1821566	0.035010928	0.725748
150	3.0513618	0.1821723	0.043043815	0.725660
155	3.1886494	0.1821917	0.052580310	0.725487
160	3.3302877	0.1822138	0.063845651	0.725220
165	3.4765863	0.1822395	0.077091993	0.724849
170	3.6278800	0.1822633	0.092601153	0.724364
175	3.7845307	0.1823033	0.110687714	0.723752
180	3.9469312	0.1823436	0.131702379	0.723002

9. táblázat

## 1985-BEN MEGJELENTEK:

- 166/1985 Radó Péter: Információs rendszerek számítógépes tervezése
- 167/1985 Studies in Applied Stochastic Programming I.  
Szerkesztette: Prékopa András /utánnomás/
- 168/1985 Böszörményi László - Kovács László - Martos Balázs - Szabó Miklós: LILIPUTH
- 169/1985 Horváth Mátyás: Alkatrészgyártási folyamatok automatizált tervezése
- 170/1985 Márkus Gábor: Algoritmus mátrix alapu logaritmus kiszámítására kriptográfiai alkalmazásokkal
- 171/1985 Tamás Várady: Integration of free-form surfaces into a volumetric modeller
- 172/1985 Reviczky János: A számítógépes grafika terület-kitöltő algoritmusai
- 173/1985 Kacsukné Bruckner Livia: Mozgáspálya generálás bonyolult geometriáju felületek 2 1/2D-s NC megmunkálásához
- 174/1985 Bolla Marianna: Mátrixok spektrálfelbontásának és szinguláris felbontásának módszerei
- 175/1985 Hannák László, Radó Péter: Adatmodellek, adatbázis-filozófiák
- 176/1985 Számítógépes képfeldolgozási és alakfelismerési kutatók találkozója.  
Szerkesztette: Csetverikov Dmitirj,  
Főglein János és Solt Péter
- 177/1985 Gyárfás András: Problems from the world surrounding perfect graphs
- 178/1985 PUBLIKÁCIÓK'84  
Szerkesztette: Petróczy Judit



